

บทที่ 4

การทดสอบโปรแกรมและผลการวิจัย

4.1 เครื่องคอมพิวเตอร์และระบบปฏิบัติการที่ใช้ในการทดสอบ

ในงานวิจัยเรื่อง “แบบจำลองทางคณิตศาสตร์ชนิดฟืชซีเพื่อแก้ปัญหาการสับเปลี่ยนหม้อแปลงจำนวนน้ำยา” ใช้การปฏิบัติการบนโปรแกรมแมทแล็บ (Matlab) เวอร์ชัน 7.10.0 (R2010A) บนระบบปฏิบัติการวินโดวส์ 7 (Windows 7) โดยเครื่องคอมพิวเตอร์ที่ใช้มีรายละเอียดดังนี้

-หน่วยประมวลผลกลาง (CPU) Intel(R) Core(TM) 2 Duo T7100 @1.8 GHz

-หน่วยความจำ (RAM) ขนาด 2.99 吉igate ไบต์ ความเร็ว 133 เมกะเฮิรตซ์

4.2 โครงสร้างการทำงานของโปรแกรมการสับเปลี่ยนหม้อแปลงจำนวนน้ำยา

โปรแกรมการสับเปลี่ยนหม้อแปลงจำนวนน้ำยามีโครงสร้างการทำงานดังรูปที่ 4.1 โดยเริ่มต้นจากการทดสอบความถูกต้องของตัวแปรนำเข้า การกำหนดฟังก์ชันความเป็นสมาชิกของปริมาณฟืชซี การกำหนดค่าเริ่มต้น การแทนที่ การครอบโอลิเวอร์ การนิวเทชั่น การสร้างคำตอนจากสมการทางคณิตศาสตร์ การเลือก การแสดงผลและการแสดงผลลัพธ์ที่ดีที่สุด ตามลำดับ

```
clear;
clc;

Coij; % ทดสอบความถูกต้องของตัวแปรนำเข้า
fmemb; % กำหนดระดับความเป็นสมาชิกของตัวแปรฟืชซี
initial_pop; % กำหนดค่าเริ่มต้น
formulated_init; % คำนวณค่าความเหมาสมของประชากรเริ่มต้น
for g = 1:genmax
    replc; % การแทนที่
    xover_exchmut; % การครอบโอลิเวอร์ และ/หรือ มิวเทชั่น
    formulated_loop; % คำนวณค่าความเหมาสมของประชากร
    sel_repl; % การเลือก
    show_result_loop; % แสดงผลของแต่ละรอบ
end
show_result; % แสดงผลที่ดีที่สุดจากการทดสอบ
```

รูปที่ 4.1 แสดงโครงสร้างการทำงานของโปรแกรมการสับเปลี่ยนหม้อแปลงจำนวนน้ำยา

4.2.1 ตัวแปรนำเข้า

ตัวแปรนำเข้าสำหรับโปรแกรมการสับเปลี่ยนหม้อแปลงจำนวนน้ำย ประกอบด้วย เมตริกซ์และค่าคงที่ซึ่งมีรายละเอียดดังตารางที่ 4.1

ตารางที่ 4.1 ตัวแปรนำเข้าที่ใช้สำหรับโปรแกรมการสับเปลี่ยนหม้อแปลงจำนวนน้ำย

ตัวแปร	คำอธิบาย	หน่วย	ค่าตัวแปร
Fij	ต้นทุนค่าอุปกรณ์และค่าใช้จ่ายหน้างานกรณีการรื้อถอนหม้อแปลงจำนวนน้ำยจากจุดจ่ายไฟหลอดเดิมไปติดตั้งที่จุดจ่ายไฟหลอดใหม่	บาท	<709x709 double>
Dij	ระบุทางที่ขนส่งกรณีมีการรื้อถอนหม้อแปลงจำนวนน้ำยจากจุดจ่ายไฟหลอดเดิมไปติดตั้งที่จุดจ่ายไฟหลอดใหม่	กิโลเมตร	<709x709 double>
Pcore	กำลังไฟฟ้าสูญเสียในแกนเหล็กของหม้อแปลงจำนวนน้ำย ณ จุดจ่ายไฟหลอดใหม่	วัตต์	<709x1 double>
Pcu	กำลังไฟฟ้าสูญเสียในคลาวด์ของหม้อแปลงจำนวนน้ำย ณ จุดจ่ายไฟหลอดใหม่	วัตต์	<709x1 double>
LSFi	ค่าตัวประกอบกำลังไฟฟ้าสูญเสียของจุดจ่ายไฟหลอดเดิมj	-	<709x1 double>
UFij	ค่าตัวประกอบการใช้ประโยชน์ของหม้อแปลงจำนวนน้ำย ณ จุดจ่ายไฟหลอดใหม่ซึ่งเป็นหม้อแปลงที่ถูกข้ายามากจุดจ่ายไฟหลอดเดิม	-	<709x709 double>
Mij	ระดับความเป็นสมมาตรของค่าตัวประกอบการใช้ประโยชน์ของหม้อแปลงจำนวนน้ำย ณ จุดจ่ายไฟหลอดใหม่ซึ่งเป็นหม้อแปลงที่ถูกข้ายามากจุดจ่ายไฟหลอดเดิม	-	<709x709 double>
C _L	ต้นทุนพลังงานไฟฟ้าต่อหน่วยจำนวนน้ำย	บาทต่อ กิโลวัตต์-ชั่วโมง	2.7606
C _t	ต้นทุนขนส่งต่อหน่วยระยะทาง	บาทต่อ กิโลเมตร	6.5
genmax	จำนวนรุ่นของประชากรที่ใช้ในการทดสอบ	-	-
ind	ขนาดประชากรที่ใช้ในการทดสอบ	-	-
Caseij	เมตริกซ์แสดงรูปแบบการสับเปลี่ยนระหว่างชนิดของหม้อแปลง	-	<709x709 double>

4.2.2 ตัวแปรส่งออก

ตัวแปรนำเข้าสำหรับโปรแกรมการสับเปลี่ยนหม้อแปลงจำนวนน้ำย ประกอบด้วย เมตริกซ์และค่าคงที่ซึ่งมีรายละเอียดดังตารางที่ 4.2

ตารางที่ 4.2 ตัวแปรส่งออกที่ใช้สำหรับโปรแกรมการสับเปลี่ยนหม้อแปลงจำนวนน้ำย

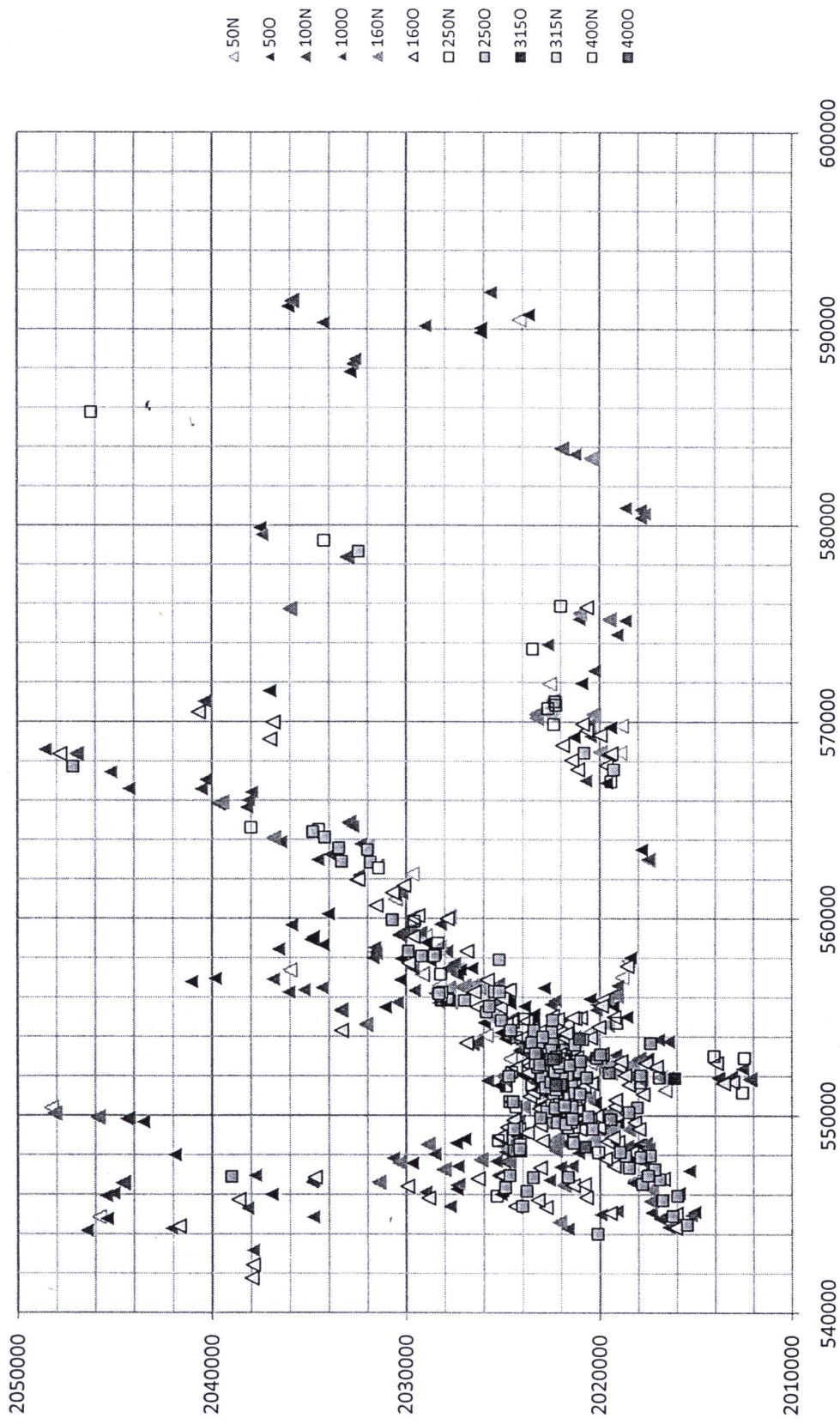
ตัวแปร	คำอธิบาย	หน่วย
bestA1	ผลรวมของต้นทุนค่าอุปกรณ์และค่าใช้จ่ายหน้างาน กรณีมีการรื้อถอนหม้อแปลงจำนวนน้ำยไปติดตั้งที่จุดจ่ายใหม่	บาท
bestA2	ผลรวมของต้นทุนค่าขนส่ง กรณีมีการรื้อถอนหม้อแปลงจำนวนน้ำยไปติดตั้งที่จุดจ่ายใหม่	บาท
bestA3	ผลรวมกำลังไฟฟ้าสูงสุดในแกนเหล็กของหม้อแปลงจำนวนน้ำย	บาท
bestA4	ผลรวมกำลังไฟฟ้าสูงสุดในขดลวดของหม้อแปลงจำนวนน้ำย	บาท
bestAt	ผลรวมของต้นทุนที่เกิดจากการสับเปลี่ยนหม้อแปลง	บาท
bestA5	ค่าเฉลี่ยของค่าตัวประกอบการใช้ประโยชน์ของหม้อแปลงจำนวนน้ำย	-
bestA6	ค่าเฉลี่ยของระดับความเป็นสมาร์เชิกของค่าตัวประกอบการใช้ประโยชน์ของหม้อแปลงจำนวนน้ำย	-
obj	แสดงผลของค่าความเหมาะสมที่ดีที่สุดในแต่ละรุ่นของประชากร	-
looptrbest	แสดงผลชุดคำตอบได้แก่ โครโนโซนที่มีค่าความเหมาะสมที่ดีที่สุดในแต่ละรุ่นของประชากร	-
besttr	แสดงผลของชุดคำตอบได้แก่ โครโนโซนที่มีค่าความเหมาะสมที่ดีที่สุดจากการทดสอบ	-
sumA_best_index	ชุดประชากรที่ให้คำตอบที่ดีที่สุด	-
gen_best	รุ่นที่ให้ผลการทดสอบที่ดีที่สุด	-

4.3 ค่าเริ่มต้นของการทดสอบ

ค่าเริ่มต้นของการทดสอบนี้ เป็นต้นทุนพัลังงานไฟฟ้าสูงสุดกรณีไม่เกิดการสับเปลี่ยนหม้อแปลงจำนวนน้ำยนิด 3 เฟสจำนวน 709 เครื่องที่เป็นกลุ่มตัวอย่างที่ใช้ในการทดสอบ แสดงในตารางที่ 4.3 ซึ่งการคำนวณนี้ไม่นำต้นทุนที่เกิดจากมูลค่าทรัพย์สินตามบัญชีและต้นทุนค่าใช้จ่ายที่เกิดจากการจ่ายกระแสไฟฟ้ามาร่วมพิจารณา

ตารางที่ 4.3 ค่ารั่นต้นของระดับตัวประจุของภาระไฟฟ้าชนิดเดียวที่ติดตั้งในห้องแม่กลง

ผู้ใช้	ระดับตัวประจุ	จำนวนหมายความนิยามของแบล็ง (เครื่อง)												
		การใช้ประโยชน์	50(N)	50(O)	100(N)	100(O)	160(N)	160(O)	250(N)	250(O)	315(N)	315(O)	400(N)	400(O)
หนูนก	UF < 20	4	14	6	14	18	6	16	7	7	1	1		86
	20 <= UF < 40	2	11	5	36	18	31	9	17	~	1			130
	40 <= UF < 60	4	19	11	41	6	31	4	11		1			128
	60 <= UF < 80	3	8	1	11		11	1	10		1			46
	80 <= UF < 100	1	5		1	1	2	1						11
	UF >= 100	1	2											3
ไก่	UF < 20	6	8	5	9	9	3	2	5					47
	20 <= UF < 40	2	7	1	13	4	18	4	7		2			58
	40 <= UF < 60	1	2		11	3	19	3	18					57
	60 <= UF < 80				7	3	11		3		1		1	26
	80 <= UF < 100	2	2											4
	UF >= 100	2												2
สุรักษา	UF < 20					2	1	1	1					5
	20 <= UF < 40		1	3	3	3	1	3	12			1	27	
	40 <= UF < 60			2	1	1	10	5	18			3	40	
	60 <= UF < 80	1	2		3	3	5	2	4	1	3	1	2	27
	80 <= UF < 100	1			1		1		2					5
	UF >= 100	2		1	1	2	1							7
รวม		32	81	35	152	73	151	51	115	1	10	1	7	709



รูปที่ 4.2 แสดงพิกัดตำแหน่งของน้ำแม่பะลงจำานวนมากถ้วนที่อยู่แยกตามพิกัดหมู่แปลง

ตารางที่ 4.4 แสดงค่าเริ่มต้นของการทดสอบ

รายการ	มูลค่า/จำนวน
ต้นทุนค่าแรง-ค่าอุปกรณ์ (บาท)	0.00
ต้นทุนค่าน้ำส่าง (บาท)	0.00
ต้นทุนพลังงานไฟฟ้าสูญเสียในแกนเหล็ก (บาท)	7,252,680.34
ต้นทุนพลังงานไฟฟ้าสูญเสียในชุดลวด (บาท)	3,026,655.79
ต้นทุนการสับเปลี่ยนหัวแปลงรวม (บาท)	10,279,336.13
ค่าตัวประกอบการใช้ประโยชน์เฉลี่ย	0.4068
ค่าตัวประกอบการใช้ประโยชน์สูงสุด	1.4061

พิกัดจุดติดตั้งปั๊จุบันของกลุ่มตัวอย่างหม้อแปลงจำหน่ายแยกตามชนิดของหม้อแปลงซึ่งได้แสดงดังรูปที่ 4.2 สำหรับค่าเริ่มต้นของระดับตัวประกอบการใช้ประโยชน์หม้อแปลงจำหน่ายแยกตามพื้นที่ติดตั้งในตารางที่ 4.4 แสดงให้เห็นว่าปั๊จุบันมีหม้อแปลงจำหน่ายในพื้นที่ชนบท, เมือง และธุรกิจที่รับ荷载สูงสุดเกินพิกัดจำนวน 3, 2 และ 7 เครื่อง ตามลำดับ ซึ่งเมื่อพิจารณาตามข้อกำหนดของ กฟภ. ที่กำหนดให้หม้อแปลงที่รับ荷载สูงสุดไม่เกิน 80% แล้ว มีหม้อแปลงจำหน่ายรับ荷载สูงสุดเกินข้อกำหนดของ กฟภ. รวมทั้งสิ้น 32 เครื่อง

4.4 พารามิเตอร์สำหรับการทดสอบวิธีเชิงพันธุกรรม

ในการทดสอบโปรแกรมการสับเปลี่ยนหม้อแปลงจำหน่าย ได้กำหนดให้พารามิเตอร์สำหรับการทดสอบวิธีเชิงพันธุกรรม ตามรายละเอียดดังตารางที่ 4.5

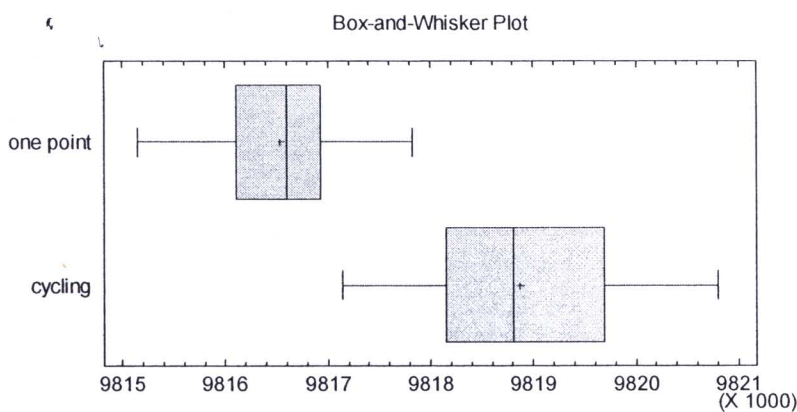
ตารางที่ 4.5 แสดงพารามิเตอร์สำหรับการทดสอบวิธีเชิงพันธุกรรม

รายการ	ค่าที่กำหนด
การเข้ารหัส	เลขจำนวนเต็ม (Integer Number)
ค่าเริ่มต้นของประชากร (Initial Population)	ผลจากการคำนวณตามสมการทางคณิตศาสตร์ ณ ตำแหน่งที่ติดตั้งปั๊จุบัน
จำนวนประชากร (Population Size)	100
จำนวนรุ่นของประชากร (Generation),	10,000
การครอสโอเวอร์ (Crossover)	One-Point/Cycling Crossover
การมутาชั่น (Mutation)	Swap Mutation
การเลือก (Selection)	Ranking Selection
เงื่อนไขในการหยุดการทำงาน (Stopping Criteria)	เท่ากับจำนวนรุ่นของประชากร

4.5 การวิเคราะห์แบบ Two Sample Test เพื่อเปรียบเทียบค่าเฉลี่ยของผลตอบ

การทดสอบนี้คำนึงการเพื่อเปรียบเทียบค่าเฉลี่ยของผลลัพธ์จากการทดสอบในแต่ละวัตถุประสงค์ (สมการที่ 3.2 ถึง 3.5) ซึ่งได้จากการทดสอบวิธีเชิงพันธุกรรมระหว่างวิธีการครอสโซเวอร์แบบจุดเดียวและวิธีการครอสโซเวอร์แบบวงรอบ เมื่อกำหนดให้พารามิเตอร์ของอัตราครอสโซเวอร์และอัตราเมริวเท่านั้นเท่ากัน 0.5 และ 0.5 ตามลำดับ สำหรับผลการทดลองแสดงไว้ที่ภาคผนวก ฯ

(1) ผลการเปรียบเทียบสำหรับฟังก์ชันวัตถุประสงค์จากสมการ (3.2)



รูปที่ 4.3 แสดง Box-and-Whisker Plot ของต้นทุนการสับเปลี่ยนหม้อแปลง
จากวิธีการครอสโซเวอร์แบบจุดเดียวและแบบวงรอบ

t test to compare means

Null hypothesis: $\text{mean1} = \text{mean2}$

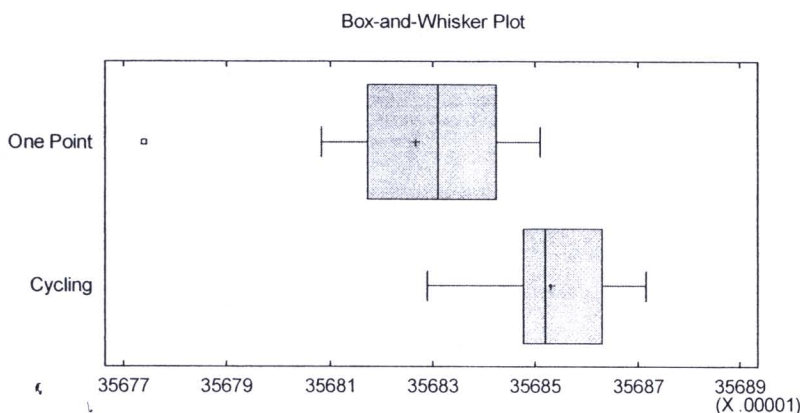
Alt. hypothesis: $\text{mean1} < \text{mean2}$

assuming equal variances: $t = -2.64087$ P-value = .0065465

Reject the null hypothesis for alpha = .05

ผลการทดสอบสมมติฐาน Two Sample Test ที่ระดับความเชื่อมั่นที่ 95 % เมื่อเปรียบเทียบความแตกต่างของค่าเฉลี่ยต้นทุนการสับเปลี่ยนหม้อแปลงจากทั้งสองตัวอย่าง พบว่า ค่าเฉลี่ยของต้นทุนการสับเปลี่ยนหม้อแปลงจากวิธีการครอสโซเวอร์แบบจุดเดียวให้ค่าต่ำกว่าค่าเฉลี่ยของ ต้นทุนการสับเปลี่ยนหม้อแปลงจากวิธีการครอสโซเวอร์แบบวงรอบอย่างมีนัยสำคัญ

(2) ผลการเปรียบเทียบสำหรับฟังก์ชั่นวัตถุประสงค์จากสมการ (3.3)



รูปที่ 4.4 แสดง Box-and-Whisker Plot ของค่าเฉลี่ยตัวประกอบการใช้ประโยชน์จากวิธีการครอสโซเวอร์แบบจุดเดียวและแบบวงรอบ

t test to compare means

Null hypothesis: $\text{mean1} = \text{mean2}$

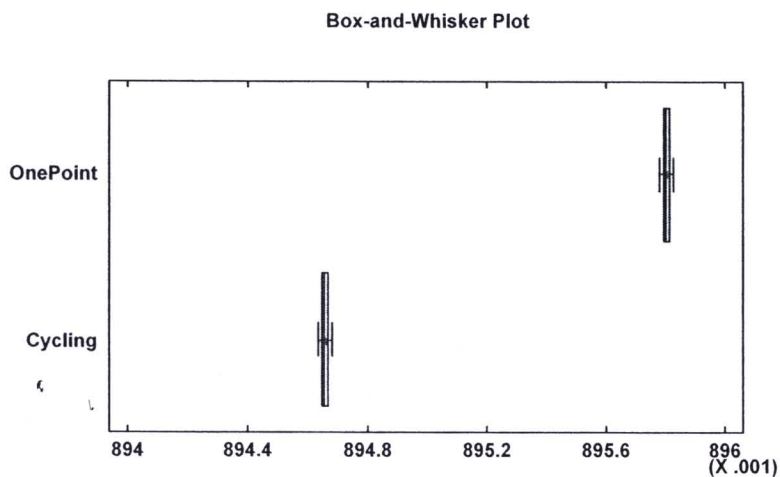
Alt. hypothesis: $\text{mean1} \neq \text{mean2}$

assuming equal variances: $t = -1.60499$ P-value = .13591

Do not reject the null hypothesis for alpha = .05

ผลการทดสอบสมมติฐาน Two Sample Test ที่ระดับความเชื่อมั่นที่ 95 % เมื่อเปรียบเทียบความแตกต่างของค่าเฉลี่ยของตัวประกอบการใช้ประโยชน์จากทั้งสองตัวอย่าง พนวณว่าค่าเฉลี่ยของตัวประกอบการใช้ประโยชน์จากการครอสโซเวอร์แบบจุดเดียว ให้ค่าเฉลี่ยของตัวประกอบการใช้ประโยชน์ไม่มีความแตกต่างกับวิธีการครอสโซเวอร์แบบวงรอบอย่างมีนัยสำคัญที่ช่วงความเชื่อมั่น 95%

(3) ผลการเปรียบเทียบสำหรับฟังก์ชันวัตถุประสงค์จากสมการ (3.4)



รูปที่ 4.5 แสดง Box-and-Whisker Plot ของค่าเฉลี่ยของผลลัพธ์จากสมการ (3.4)
จากวิธีการครอสโซเวอร์แบบจุดเดียวและแบบวงรอบ

t test to compare means

Null hypothesis: $\text{mean1} - \text{mean2} = .001$

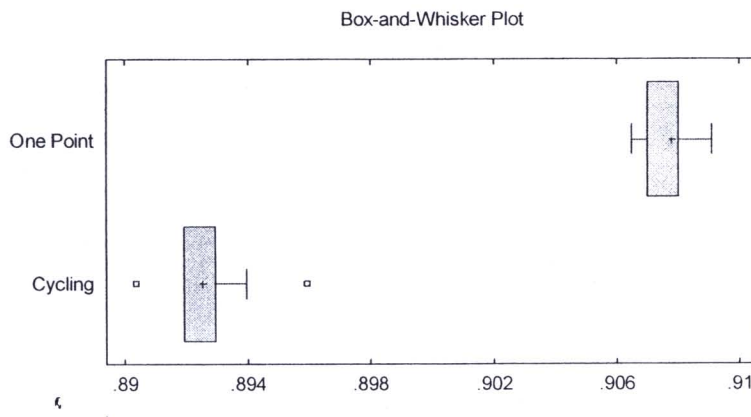
Alt. hypothesis: $\text{mean1} - \text{mean2} > .001$

Assuming equal variances: $t = 152.924$ P-value = 0.00076

Reject the null hypothesis for alpha = .05

ผลการทดสอบสมมติฐาน Two Sample Test ที่ระดับความเชื่อมั่นที่ 95 % เมื่อเปรียบเทียบความแตกต่างของค่าเฉลี่ยผลลัพธ์จากสมการ (3.4) จากทั้งสองตัวอย่าง พบว่าผลต่างของค่าเฉลี่ยของผลลัพธ์จากสมการ (3.4) จากวิธีการครอสโซเวอร์แบบจุดเดียวมีค่าสูงกว่า 0.001 อย่างมีนัยสำคัญ เมื่อเทียบกับวิธีการครอสโซเวอร์แบบวงรอบ

(4) ผลการเปรียบเทียบสำหรับฟังก์ชันวัตถุประสงค์จากสมการ (3.5)



รูปที่ 4.6 แสดง Box-and-Whisker Plot ของค่าเฉลี่ยของผลลัพธ์จากสมการ (3.5)
จากวิธีการทดสอบโซเวอร์แบบจุดเดียวและแบบวงรอบ

t test to compare means

Null hypothesis: $\text{mean1} = \text{mean2}$

Alt. hypothesis: $\text{mean1} > \text{mean2}$

assuming equal variances: $t = 2.09385$ P-value = .0254148

Reject the null hypothesis for alpha = .05

ผลการทดสอบสมมติฐาน Two Sample Test ที่ระดับความเชื่อมั่นที่ 95 % เมื่อเปรียบเทียบความแตกต่างของค่าเฉลี่ยผลลัพธ์จากสมการ (3.5) จากทั้งสองตัวอย่าง ค่าเฉลี่ยของผลลัพธ์จากสมการ (3.5) จากการทดสอบโซเวอร์แบบจุดเดียวให้ค่าสูงกว่าวิธีการทดสอบโซเวอร์แบบวงรอบอย่างมีนัยสำคัญ

(5) สรุปผลการเปรียบเทียบระหว่างวิธีการทดสอบโซเวอร์แบบจุดเดียวกับวิธีการทดสอบโซเวอร์แบบวงรอบ

การเปรียบเทียบความแตกต่างของค่าเฉลี่ยทั้ง 4 วัตถุประสงค์ สรุปได้ว่า สมการที่ (3.2) วิธีการทดสอบโซเวอร์แบบจุดเดียวให้ค่าเฉลี่ยของต้นทุนการสับเปลี่ยนมือแปลงต่ำกว่าวิธีการทดสอบโซเวอร์แบบวงรอบ และสมการที่ (3.4) และ (3.5) วิธีการทดสอบโซเวอร์แบบจุดเดียวให้ค่าเฉลี่ยที่สูงกว่าวิธีการทดสอบโซเวอร์แบบวงรอบ และสมการที่ (3.3) ทั้งสองวิธีให้ค่าผลตอบที่ไม่แตกต่างกัน ดังนั้นแนวโน้มของผลการทดสอบพบว่า วิธีการทดสอบโซเวอร์แบบจุดเดียวให้ผลลัพธ์ที่ดีกว่าวิธีการ

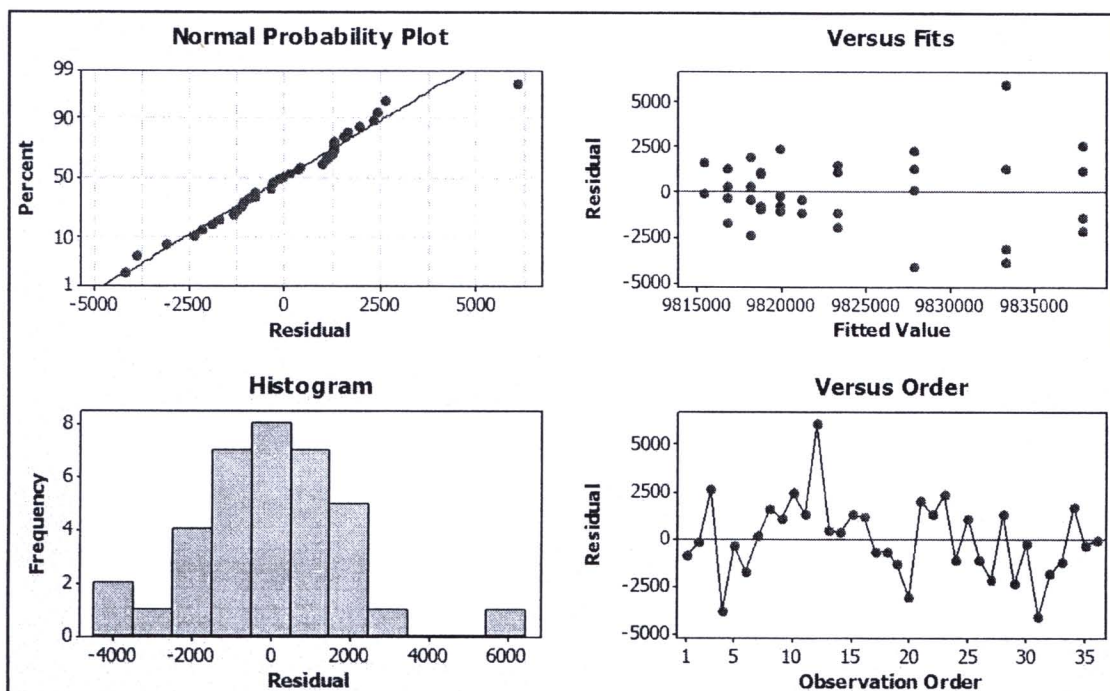
กรอส์โอลเวอร์แบบวงรอบ ผู้วิจัยจึงเลือกใช้วิธีการกรอส์โอลเวอร์แบบจุดเดียวสำหรับการทดลองในหัวข้อต่อไป

4.6 การทดสอบความเป็นเชิงเส้นของแบบจำลอง

การทดสอบนี้จะทำเพื่อทดสอบว่าปัจจัยที่ทำการวิเคราะห์มีลักษณะเป็นแบบเชิงเส้นตรง (Linear) หรือแบบไม่เป็นเชิงเส้นตรง (Nonlinear) โดยการวางแผนการทดลองสำหรับผลตอบของต้นทุนการสั่งเปลี่ยนหม้อแปลงแบบ Full Factorial และทำการทดสอบที่จุด Center Point จากผลการทดสอบสมมุติฐาน Curvature Analysis สำหรับผลการทดลองแสดงไว้ที่ภาคผนวก ๔

(1) การวิเคราะห์ส่วนตกค้าง (Analyze Residuals)

ทำการวิเคราะห์ส่วนตกค้างเพื่อตรวจสอบความเพียงพอของแบบจำลองที่สร้างขึ้นและตรวจสอบความถูกต้องของสมมติฐานที่สร้างขึ้นนำข้อมูลมาทำการวิเคราะห์ส่วนตกค้างของแบบจำลองได้ผลเป็นดังรูปที่ 4.7



รูปที่ 4.7 กราฟแสดงการวิเคราะห์ส่วนตกค้างของข้อมูลผลตอบของต้นทุนการสั่งเปลี่ยนหม้อแปลง

จากรูปที่ 4.7 แสดงการวิเคราะห์ส่วนตกค้างของข้อมูลเพื่อที่จะตรวจสอบความเพียงพอของแบบจำลอง (Residual Analysis for Model Adequacy) โดยเมื่อเราทดลองแทนค่าตัวแปรลงไปในแบบจำลองที่ได้จากเทคนิคการออกแบบการทดลองเพื่อทำนายผลตอบนั้น สามารถแสดงความสัมพันธ์ระหว่างค่าพยากรณ์ (\hat{y}_i) ค่าจริง (y_{ij}) และส่วนตกค้าง (e_{ij}) ได้ดังสมการ (4.1)

$$e_{ij} = y_{ij} - \hat{y}_i \quad (4.1)$$

โดยแบบจำลองดังกล่าวต้องทึ้งอยู่บนสมมุติฐานหลัก 3 ประการดังนี้

- 1) ข้อมูลส่วนตกลักษณะมีการกระจายตัวแบบปกติและค่าเฉลี่ยเป็นศูนย์ (Normality Assumption)

จากการวิเคราะห์ส่วนตกลักษณะของข้อมูลผลตอบในส่วนของกราฟความน่าจะเป็นแบบปกติของส่วนตกลักษณะ (Normal Probability Plot of the Residuals) พบว่าผลที่ได้จากการพัฒนากราฟความน่าจะเป็นแบบปกติของส่วนตกลักษณะมีแนวโน้มเป็นเส้นตรง แต่จะมีบางจุดที่อยู่นอกเส้นซึ่งเป็นผลจากความแปรปรวนของปัจจัยภายนอก จึงสรุปได้ว่าการกระจายตัวของส่วนตกลักษณะของข้อมูลมีแนวโน้มของการกระจายตัวเป็นแบบปกติ

ในการทำนองเดียวกัน เมื่อพิจารณาจากในส่วนของกราฟอิสโทแกรมของส่วนตกลักษณะ (Histogram of the Residuals) พบว่ามีการกระจายตัวของส่วนตกลักษณะในทุกช่วงของกราฟอิสโทแกรม จึงสรุปได้ว่าการกระจายตัวของส่วนตกลักษณะของข้อมูลมีแนวโน้มการกระจายตัวแบบปกติ

- 2) ส่วนตกลักษณะมีความแปรปรวนคงที่ (Constant Variance Assumption) ไม่เปลี่ยนแปลงตามระดับของปัจจัยหรือขึ้นอยู่กับค่าพยากรณ์ของผลตอบ

จากการวิเคราะห์ส่วนตกลักษณะของข้อมูลผลตอบในส่วนของกราฟระหว่างส่วนตกลักษณะกับค่าที่ถูกทำนาย (Residuals Versus the Fitted Values) ของผลตอบพบว่าการกระจายตัวของส่วนตกลักษณะไม่มีแนวโน้ม สามารถสรุปได้ว่าส่วนตกลักษณะมีการกระจายตัวแบบอิสระ ไม่ขึ้นอยู่กับค่าที่ถูกทำนาย

- 3) ส่วนตกลักษณะต้องมีการกระจายตัวอิสระ (Independence Assumption) ไม่แปรผันตามปัจจัยหรือลำดับการทดลอง

จากการวิเคราะห์ส่วนตกลักษณะของข้อมูลผลตอบในส่วนของกราฟระหว่างส่วนตกลักษณะกับลำดับการทดลอง (Plot of Residuals Versus the Observation Order of the Data) ของข้อมูลผลตอบพบว่าจุดที่พัฒนาไม่มีแนวโน้มใดๆ จึงสรุปได้ว่าส่วนตกลักษณะมีลักษณะการกระจายตัวแบบอิสระ ไม่ขึ้นอยู่กับลำดับการทดลอง กล่าวคือ จากผลการทดสอบสมมุติฐานของส่วนตกลักษณะของข้อมูลผลตอบสามารถสรุปได้ว่าผลตอบ มีส่วนตกลักษณะของข้อมูล (Residuals) มีการกระจายตัวแบบปกติและค่าเฉลี่ยเป็นศูนย์มีความแปรปรวนคงที่และมีการกระจายตัวอิสระ

(2) การประมาณผลผลกระทบจากการทดลอง (Estimate Factor Effects)

การวิเคราะห์เชิงสถิติสำหรับการออกแบบการทดลองนี้ จะต้องประมาณผลผลกระทบของเทอนต่างๆ ตรวจสอบเครื่องหมายและขนาดของผลที่เกิดขึ้น ซึ่งทำให้ทราบว่าปัจจัยและอันตร-

กิริยาได้มีความสำคัญ โดยมีผลตอบของการทดลองคือข้อมูลผลตอบด้านต้นทุนการสับเปลี่ยนหม้อ-แปลง ผลการทดลองนี้แสดงดังตาราง 4.6

ตารางที่ 4.6 การประมาณผลกราบทบและระดับความเชื่อมั่นของปัจจัยในการทดลองที่มีผลต่อผลตอบ

Term	Effect	Coef	SE Coef	T	P
Constant		9824,431	404.5	24,285.42	0.000
อัตราครอส ไอเวอร์	-2387	-1,193	404.5	-2.95	0.006
อัตรามิวเทชั่น	12178	6,089	404.5	15.05	0.000
วิธีการครอส ไอเวอร์	-5935	-2,968	381.4	-7.78	0.000
อัตราครอส ไอเวอร์*อัตรามิวเทชั่น	-2238	-1,119	404.5	-2.77	0.010
อัตราครอส ไอเวอร์*วิธีการครอส ไอเวอร์	-631	-316	404.5	-0.78	0.442
อัตรามิวเทชั่น*วิธีการครอส ไอเวอร์	-4086	-2,043	404.5	-5.05	0.000
อัตราครอส ไอเวอร์*อัตรามิวเทชั่น					
*วิธีการครอส ไอเวอร์	639	320	404.5	0.79	0.436

หมายเหตุ *ปัจจัยหลักและอันตรกิริยาอันดับสองที่มีผลต่อข้อมูลผลตอบอย่างมีนัยสำคัญที่ระดับความเชื่อมั่น 95% (ค่า P น้อยกว่า 0.05)

$$S = 2288.43 \quad R.Sq = 92.96\% \quad R.Sq(adj) = 90.88\%$$

ค่า R.Sq และ R.Sq(adj) มีค่า 92.96% และ 90.88% ตามลำดับ ซึ่งสามารถอธิบายความหมายได้ดังนี้ R.Sq 92.96% แสดงว่าแบบจำลอง (Model) นี้สามารถอธิบายความผันแปรของข้อมูลผลตอบ ที่มีผลเกิดจากตัวแปรปัจจัย (X) อยู่ 92.96% และ R.Sq(adj) 90.88% เป็นค่าที่มีความหมายเหมือน R.Sq แต่คิดจำนวนพจน์ในส่วนที่พยากรณ์เท่านั้น

(3) การสร้างแบบจำลองเบื้องต้น (Form Initial Model)

แบบจำลองเริ่มต้นจะประกอบด้วยผลกราบทบหลักและอันตรกิริยารวมของปัจจัยทั้งหมด จากค่าสัมประสิทธิ์ของการทดลองในตาราง 4.6 โดยสมการคือค่าพยากรณ์ต้นทุนในการกำหนด ระดับของปัจจัย อัตราครอส ไอเวอร์, อัตรามิวเทชั่น และรูปแบบการครอส ไอเวอร์ให้อยู่ภายใต้ ขีดจำกัดสูงสุดและต่ำสุดที่ได้กำหนดไว้ ซึ่งสามารถเขียนได้ดังสมการ (4.2) ด้วยตัวอย่างด้านล่างนี้

$$\hat{y}_i = 9824431-1193CR+6089MR-2968CT-1119(CR*MR)-2043(MR*CT) \quad (4.2)$$

(4) การทดสอบทางสถิติ (Perform Statistical Testing)

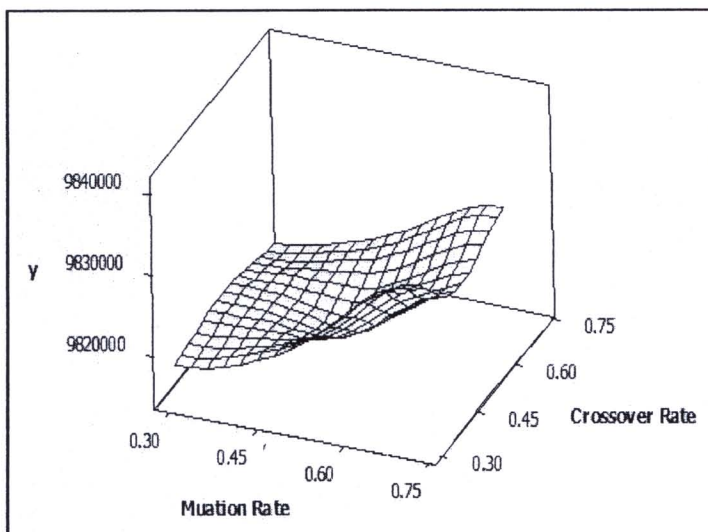
การวิเคราะห์ความแปรปรวนของข้อมูล (Analysis of Variance; ANOVA) เพื่อที่จะทดสอบความมีนัยสำคัญและความสำคัญของผลกราบทบของปัจจัยของการออกแบบการทดลอง

สัดส่วนของความแปรปรวน (F-Distribution) จะนำมาใช้ในการตัดสินใจเกี่ยวกับความแปรปรวนของข้อมูล เนื่องจากการวิเคราะห์ข้อมูลด้วยวิธี Full Factorial พบร่วมแบบจำลองไม่เป็นเชิงเส้น ดังนั้นจึงทำออกแบบการทดลองโดยใช้เทคนิคการออกแบบผิวผลตอบ (Response Surface Design) ด้วยวิธีการออกแบบส่วนประสมกลาง (Central Composite Design; CCD) และทำการทดสอบสมมุติฐาน Curvature Analysis ที่ว่า $H_0 = \beta_{11} + \beta_{12} + \beta_{13} + \beta_{14} = 0$ ได้ผลดังตารางที่ 4.7 และสร้างแบบจำลองไม่เชิงเส้นได้ดังรูปที่ 4.8

ตารางที่ 4.7 การวิเคราะห์แหล่งของผลกระบทที่มีผลและทดสอบความไม่เป็นเชิงเส้นของแบบจำลอง

Source	DF	Seq SS	Adj SS	Adj MS	F	P
Main Effects	3	1549064250	1549064250	516354750	98.60	0.000
2-Way Interactions	3	176839633	176839633	58946544	11.26	0.000
3-Way Interactions	1	3269062	3269062	3269062	0.62	0.436
Curvature	1	138225724	138225724	138225724	26.39	0.000
Residual Error	27	141396028	141396028	5236890		
Lack of Fit	1	2784834	2784834	2784834	0.52	0.476
Pure Error	26	138611194	138611194	5331200		
Total	35	2008794697				

หมายเหตุ * ปัจจัยหลักและอันตรรศิยาอันดับสองที่มีผลต่อข้อมูลผลตอบอย่างมีนัยสำคัญ ที่ระดับความเชื่อมั่น 95% (ค่า P น้อยกว่า 0.05)



รูป 4.8 กราฟแสดงผืนที่ผลตอบของผลกระบทระหว่าง อัตราครอสโซเวอร์*อัตราเมวเทชั่น

จากตาราง 4.7 พบร่วมค่า P ของ Curvature มีค่าน้อยกว่า 0.05 จึงสรุปได้ว่าแบบจำลองนี้เป็นแบบจำลองที่มีผลของส่วนโภค จึงแบบจำลองที่ไม่เป็นเชิงเส้นอย่างมีนัยสำคัญ

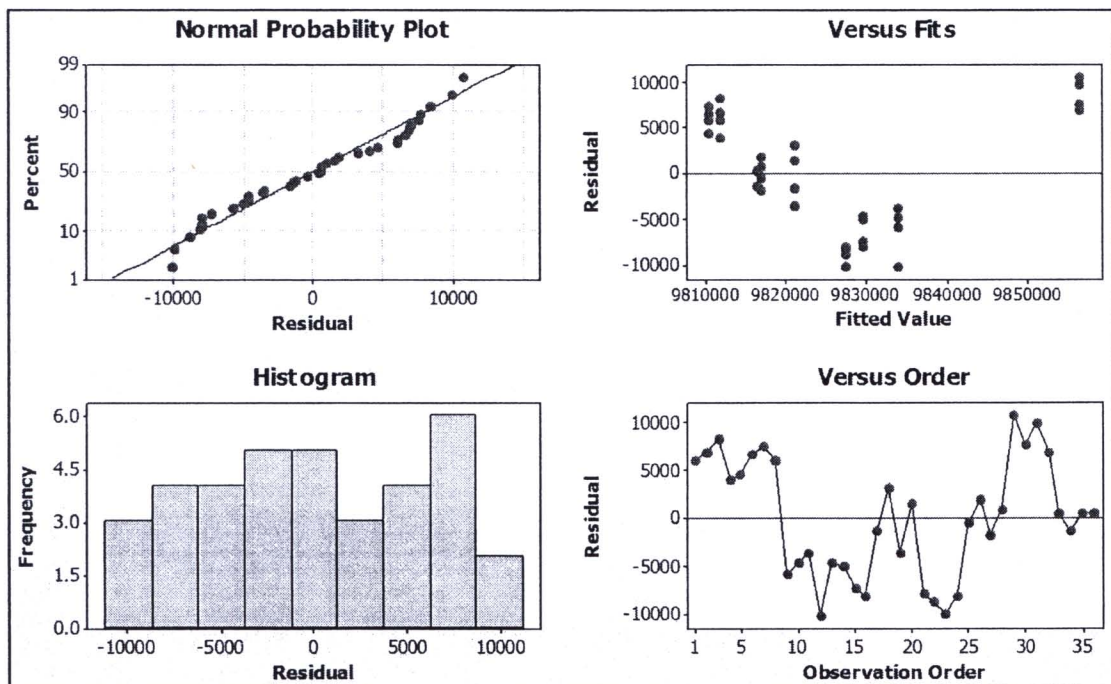
4.7 การออกแบบการทดลองเพื่อหาค่าที่เหมาะสมที่สุด

การทดสอบนี้กระทำเพื่อสร้างแบบพื้นที่ผิวของผลตอบและเพื่อหาค่าที่เหมาะสมที่สุดสำหรับแต่ละปัจจัยโดยใช้เทคนิคฟังก์ชันความพึงพอใจโดยรวมร่วมกับเทคนิค Reduced Gradient ในการหาค่าที่เหมาะสมที่สุด สำหรับผลการทดลองแสดงไว้ที่ ภาคผนวก ๑

4.7.1 การวิเคราะห์ข้อมูลผลตอบด้านต้นทุนการสับเปลี่ยนหม้อแปลง

(1) การวิเคราะห์ส่วนตกค้าง (Analyze Residuals)

ทำการวิเคราะห์ส่วนตกค้างเพื่อตรวจสอบความเพียงพอของแบบจำลองที่สร้างขึ้นและตรวจสอบความถูกต้องของสมมติฐานที่สร้างขึ้นนำข้อมูลมาทำการวิเคราะห์ส่วนตกค้างของแบบจำลอง ได้ผลเป็นดังรูปที่ 4.9



รูปที่ 4.9 กราฟแสดงการวิเคราะห์ส่วนตกค้างของข้อมูลผลตอบด้านต้นทุนการสับเปลี่ยนหม้อแปลง

จากรูปที่ 4.9 แสดงการวิเคราะห์ส่วนตกค้างของข้อมูลเพื่อที่จะตรวจสอบความเพียงพอของแบบจำลอง (Residual Analysis for Model Adequacy) การวิเคราะห์ส่วนตกค้างของข้อมูลผลตอบในส่วนของกราฟความน่าจะเป็นแบบปกติของส่วนตกค้าง (Normal Probability Plot of the Residuals) พบว่าผลที่ได้จากการพล็อตกราฟเป็นแบบปกติ ส่วนตกค้างของข้อมูลมีแนวโน้มเป็นเส้นตรงและในส่วนของกราฟ histogram ของส่วนตกค้าง (Histogram of the Residuals) พบว่ามี

การกระจายตัวของส่วนตกล้างอยู่ในทุกช่วงของกราฟชิสโตแกรม จึงสรุปได้ว่าการกระจายตัวของส่วนตกล้างของข้อมูลมีแนวโน้มการกระจายตัวเป็นแบบปกติ

จากการวิเคราะห์ส่วนตกล้างของข้อมูลผลตอบในส่วนของgrafระหว่างส่วนตกล้างกับค่าที่ถูกทำนาย (Residuals Versus the Fitted Values) ของผลตอบพบว่าการกระจายตัวของส่วนตกล้างมีลักษณะกระจายไม่มีแนวโน้มเกิดขึ้น สามารถสรุปได้ว่าส่วนตกล้างมีการกระจายตัวแบบอิสระและในด้านการวิเคราะห์ส่วนตกล้างของข้อมูลผลตอบในส่วนของgrafระหว่างส่วนตกล้างกับลำดับการทดลอง (Plot of Residuals Versus the Observation Order of the Data) ของข้อมูลผลตอบพบว่าจุดที่พล็อกมีกระจายตัวแบบอิสระ กล่าวคือ จากผลการทดสอบสมมุติฐานของส่วนตกล้างของข้อมูลผลตอบสามารถสรุปได้ว่าผลตอบมีส่วนตกล้างของข้อมูล (Residuals) มีการกระจายตัวแบบปกติ และมีความแปรปรวนคงที่

(2) การประมาณผลผลกระทบจากการทดลอง (Estimate Factor Effects)

การวิเคราะห์เชิงสถิติสำหรับการออกแบบการทดลองนี้ จะต้องประมาณผลผลกระทบของเทอนั่นๆ ตรวจสอบเครื่องหมายและขนาดของผลที่เกิดขึ้น ซึ่งทำให้ทราบว่าปัจจัยและอันตรกิริยาใดมีความสำคัญ โดยมีผลตอบของการทดลองคือ ข้อมูลผลตอบของต้นทุนการสับเปลี่ยนหม้อแปลงแสดงดังตาราง 4.8

ตารางที่ 4.8 การประมาณผลผลกระทบและระดับความเชื่อมั่นของปัจจัยในการทดลองที่มีผลต่อผลตอบด้านต้นทุนการสับเปลี่ยนหม้อแปลง

Term	Coef	SE Coef	T	P
Constant	9731876	14926	652.016	0.000
Block 1	2443	1791	1.364	0.183
Block 2	11424	1791	6.378	0.000
อัตราครอสโซเวอร์	288202	47875	6.020	0.000
อัตราనิวเทชั่น	61382	22074	2.781	0.009
อัตราครอสโซเวอร์* อัตราครอสโซเวอร์	-285344	42482	-6.717	0.000
อัตราครอสโซเวอร์* อัตราనิวเทชั่น	-19985	42482	-0.470	0.642

หมายเหตุ * ปัจจัยหลักและอันตรกิริยาอันดับสองที่มีผลต่อข้อมูลผลตอบอย่างมีนัยสำคัญ ที่ระดับความเชื่อมั่น 95% (ค่า P น้อยกว่า 0.05)

$$S = 6797.09 \quad R.Sq = 82.91\% \quad R.Sq(adj) = 79.37\%$$

ค่า R.Sq และ R.Sq(adj) มีค่า 82.91% และ 79.37% ตามลำดับซึ่งสามารถอธิบายความหมายได้ดังนี้ R.Sq 82.91% แสดงว่าแบบจำลอง (Model) นี้สามารถอธิบายความผันแปรของข้อมูลผล

ตอบ ที่มีผลเกิดจากตัวแปรปัจจัย X อよุ 82.91% และ R.Sq(adj) 79.37% เป็นค่าที่มีความหมายเหมือน R.Sq แต่คิดจำนวนพจน์ในส่วนที่พยากรณ์เท่านั้น

(3) การสร้างแบบจำลองเบื้องต้น (Form Initial Model)

แบบจำลองเริ่มต้นจะประกอบด้วยผลกระบทหลักและอันตรกิริยาร่วมของปัจจัยทั้งหมดที่มีผล จากค่าสัมประสิทธิ์ของการทดลองในตาราง 4.8 โดยสมการคือค่าพยากรณ์ต้นทุนในการกำหนดระดับของปัจจัย อัตราครอสโซเวอร์ (CR) และอัตรา米เวทชั่น (MR) ให้อยู่ภายใต้ขีดจำกัดสูงสุด และต่ำสุดที่ได้กำหนดไว้ซึ่งสามารถเขียนได้ดังสมการ (4.3)

$$\hat{y}_i = 9731876 + 11424 (\text{Block2}) + 288202\text{CR} + 61382\text{MR} - 285344 \text{ CR}^2 \quad (4.3)$$

(4) การทดสอบทางสถิติ (Perform Statistical Testing)

การวิเคราะห์ความแปรปรวนของข้อมูล (Analysis of Variance; ANOVA) เพื่อที่จะทดสอบความมีนัยสำคัญและความสำคัญของผลกระบทของปัจจัยของการออกแบบการทดลองสัดส่วนของความแปรปรวน (F-Distribution) จะนำมาใช้ในการตัดสินใจเกี่ยวกับความแปรปรวนของข้อมูลโดยผลเป็นดังตารางที่ 4.9

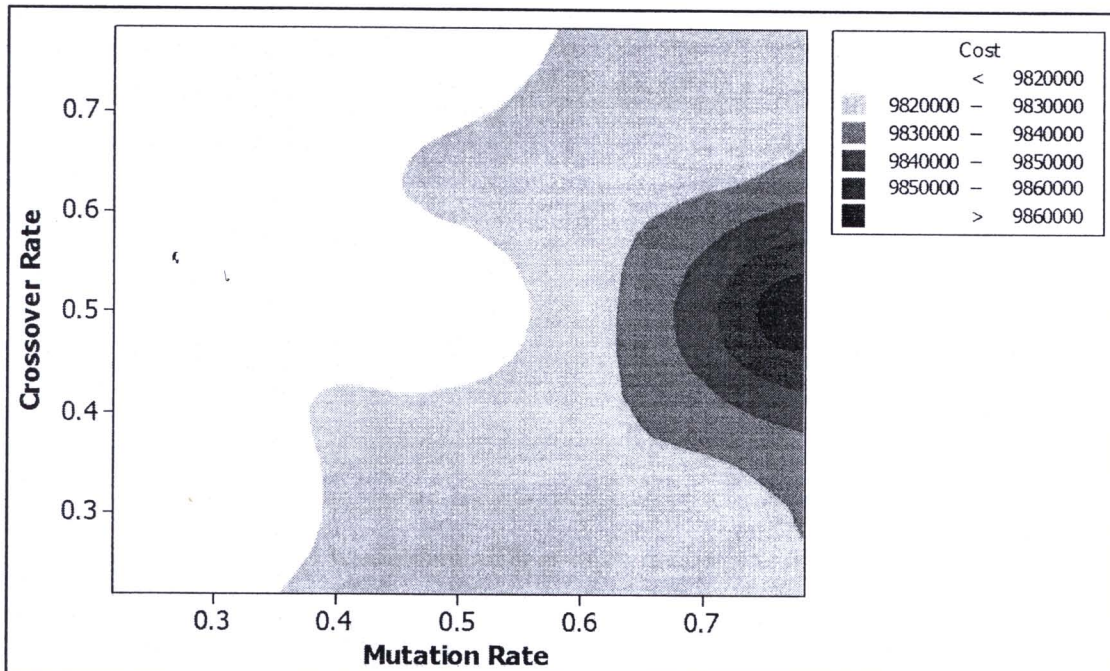
ตารางที่ 4.9 การวิเคราะห์ความแปรปรวนของผลกระบทที่มีผลต่อแบบจำลอง

Source	DF	Seq SS	Adj SS	Adj MS	F	P
Blocks	2	958537027	1903875962	951937981	20.60	0.000
Regression	4	5540063527	5540063527	1385015882	29.98	0.000
Linear	2	3445455373	1676795073	838397536	18.15	0.000
Square	1	2084383111	2084383111	2084383111	45.12	0.000
Interaction	1	10225043	10225043	10225043	0.22	0.642
Residual Error	29	1339811330	1339811330	46200391		
Lack-of-Fit	2	1242987289	1242987289	621493644	173.31	0.000
Pure Error	27	96824042	96824042	3586076		
Total	35	7838411884				

หมายเหตุ * ปัจจัยหลักและอันตรกิริยาอันดับสองที่มีผลต่อข้อมูลผลตอบอย่างมีนัยสำคัญ ที่ระดับความเชื่อมั่น 95% (ค่า P น้อยกว่า 0.05)

ในการพิจารณาความเหมาะสมของแบบจำลองที่สร้างขึ้นนั้น สามารถตัดสินใจจากค่าผลรวมกำลังสองของข้อมูลซึ่งปัจจัยที่มีค่าผลรวมกำลังสองมากจะเป็นปัจจัยที่ปรากฏอยู่ในแบบจำลองส่วนปัจจัยที่มีค่าผลรวมกำลังสองที่น้อยสามารถตัดทิ้งได้ จากการพิจารณาค่าผลรวม

กำลังสองที่คำนวณได้ในตาราง 4.9 พบว่า ผลรวมกำลังสองของผลกระทบของอันตรกิริยาร่วมมีค่า น้อยกว่า ผลกระทบอื่น จึงสามารถสรุปได้ว่าอันตรกิริยาจะไม่ปรากฏอยู่ในแบบจำลอง โดยเมื่อพิจารณาจากค่า P-Value พบว่าเป็นไปในทำนองเดียวกัน คือ ปัจจัยของผลกระทบของอันตรกิริยา ร่วมมีค่า P-Value มากกว่า 0.05 แสดงว่าไม่มีผลต่อข้อมูลผลตอบบ่างมีนัยสำคัญ

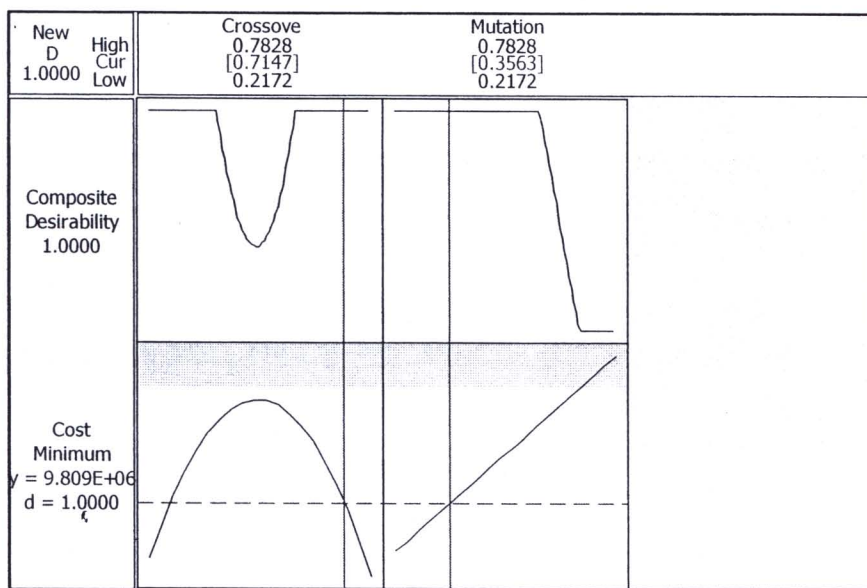


รูป 4.10 กราฟแสดง Contour Plot ของผลกระทบระหว่าง อัตราครอสโซเวอร์*อัตราเมวเทชั่น

(5) เงื่อนไขที่เหมาะสมสำหรับแบบจำลองสุดท้าย (Find Optimum Condition for Final Model)

หลังจากที่ได้แบบจำลองที่เหมาะสมที่สุดแล้ว จึงทำการหาเงื่อนไขที่เหมาะสมที่สุดของโดยกำหนดค่าเป้าหมายคือ ต้นทุนการสับเปลี่ยนหม้อแปลงเท่ากับ 9,815,000 บาท โดยใช้กระบวนการคำนวณฟังก์ชัน Response Optimizer ซึ่งเป็นฟังก์ชันความพึงพอใจที่ใช้หาค่าที่เหมาะสมที่สุดของปัจจัยโดยรวมของผลตอบ (Composite Desirability; D) ในโปรแกรม MINITAB Release 15

ผลลัพธ์ที่ได้แสดงดังรูปที่ 4.11 ค่าความพึงพอใจโดยรวมของผลตอบเป้าหมายเท่ากับ 9,809,000 บาท ซึ่งต่ำกว่าค่าเป้าหมายที่ต้องการ และมีค่า desirability เท่ากับ 1.000 โดยค่าอัตราครอสโซเวอร์ (CR) และอัตราเมวเทชั่น (MR) ที่เหมาะสมที่สุดจะเท่ากับ 0.7147 และ 0.3563 ตามลำดับ

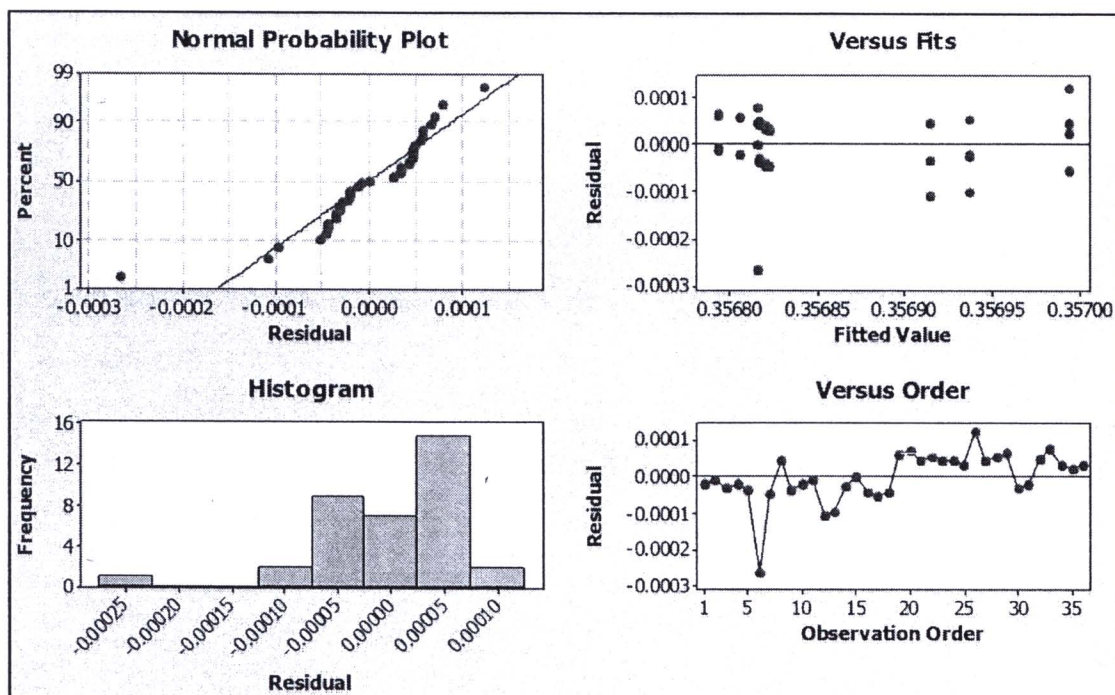


รูป 4.11 ค่าที่เหมาะสมที่สุดของปัจจัยที่มีผลต่อต้นทุนการสับเปลี่ยนหม้อแปลง

4.7.2 การวิเคราะห์ข้อมูลผลตอบของค่าเฉลี่ยตัวประกอบการใช้ประโยชน์

(1) การวิเคราะห์ส่วนตกค้าง (Analyze Residuals)

ทำการวิเคราะห์ส่วนตกค้างเพื่อที่จะตรวจสอบความเพียงพอของแบบจำลองที่สร้างขึ้น และตรวจสอบความถูกต้องของสมมติฐานที่สร้างขึ้น นำข้อมูลมาทำการวิเคราะห์ส่วนตกค้างของแบบจำลอง ได้ผลเป็นดังรูปที่ 4.12



รูปที่ 4.12 กราฟแสดงการวิเคราะห์ส่วนตกค้างของข้อมูลผลตอบของค่าตัวประกอบการใช้ประโยชน์

จากรูปที่ 4.12 แสดงการวิเคราะห์ส่วนตกลักข้างของข้อมูลเพื่อที่จะตรวจสอบความเพียงพอของแบบจำลองจากการวิเคราะห์ส่วนตกลักข้างของข้อมูลผลตอบในส่วนของกราฟความน่าจะเป็นแบบปกติของส่วนตกลักข้าง พบว่าผลที่ได้จากการพล็อตกราฟเป็นแบบปกติส่วนตกลักข้างของข้อมูลมีแนวโน้มเป็นเส้นตรง ในทำนองเดียวกัน เมื่อพิจารณาจากในส่วนของกราฟอิสโทแกรมของส่วนตกลักข้าง พบว่ามีการกระจายตัวของส่วนตกลักข้างอยู่ในทุกช่วงของกราฟอิสโทแกรม โดยพิจารณาตัดจุดที่เป็นข้อมูลผิดปกติ จึงสรุปได้ว่าการกระจายตัวของส่วนตกลักข้างของข้อมูลมีแนวโน้มการกระจายตัวไม่เป็นแบบปกติ

(2) การประมาณผลกระแทบจากการทดลอง (Estimate Factor Effects)

จากการวิเคราะห์ส่วนตกลค้างของข้อมูลผลตอบสนองว่ามีการกระจายตัวเป็นปกติ จึงทำการประเมินผลกระบวนการของเหตุผลต่างๆ ตรวจสอบเครื่องหมายและขนาดของผลที่เกิดขึ้น ซึ่งทำให้ทราบว่าปัจจัยและอันตรายใดมีความสำคัญ โดยมีผลตอบของการทดลองคือ ข้อมูลผลตอบของค่าตัวประกอบการใช้ประโยชน์มีแปลงจำหน่ายแสดงดังตารางที่ 4.10

ตารางที่ 4.10 การประมาณผลกระทบและระดับความเชื่อมั่นของปัจจัยในการทดลองที่มีผลต่อผลตอบของค่าตัวประกอบการใช้ประโยชน์หม้อแปลงจำหน่าย

Term	Coef	SE Coef	T	P
Constant	6.6444	3.170	2.096	0.058
อัตราครอสໄໂເວອ໌	-3.0790	7.682	-0.401	0.696
อัตราມິວທີ່	-27.8519	7.682	-3.625	0.003
อัตราครอสໄໂເວອ໌*ອัตราครอสໄໂເວອ໌	0.5700	7.024	0.081	0.937
อัตราມິວທີ່*ອัตราມິວທີ່	27.4529	7.024	3.909	0.002
อัตราครอสໄໂເວອ໌*ອัตราມິວທີ່	2.8522	5.990	0.476	0.643

หมายเหตุ * ปัจจัยหลักและอันตรกิริยาอันดับสองที่มีผลต่อข้อมูลผลตอบย่างมีนัยสำคัญ ที่ระดับความเชื่อมั่น 95% (ค่า P น้อยกว่า 0.05)

S = 0.677665 R.Sq = 70.25% R.Sq(adj) = 57.86%

ค่า R.Sq และ R.Sq(adj) มีค่า 70.25% และ 57.86% ตามลำดับ ซึ่งสามารถอธิบายความหมายได้ดังนี้ R.Sq 70.25% แสดงว่าแบบจำลอง (Model) นี้สามารถอธิบายความผันแปรของข้อมูลผลตอบที่มีผลเกิดจากตัวแปรปัจจัย (X) อยู่ 70.25% สำหรับ R.Sq(adj) 57.86% เป็นค่าที่มีความหมายเหมือน R.Sq แต่คิดจำนวนพจน์ในส่วนที่พยากรณ์เท่านั้น

(3) การสร้างแบบจำลองเบื้องต้น (Form Initial Model)

แบบจำลองเริ่มต้นจะประกอบด้วยผลกระทบหลักและอันตราริยา_r'วมของปัจจัยที่มีผลจากค่าสัมประสิทธิ์ของการทดสอบในตารางที่ 4.10 โดยสมการคือค่าพยากรณ์ผลตอบของค่าตัวประกอบการใช้ประโยชน์ในการกำหนดระดับของปัจจัย อัตราครอสโซเวอร์ (CR) และอัตราเมวเทชั่น (MR) ให้อยู่ภายใต้ตามปัจจัดสูงสุดและต่ำสุดที่ได้กำหนดไว้ ซึ่งสามารถเขียนได้ดังสมการ (4.4) ต่อไปนี้

$$\hat{y}_i = 6.6444 - 27.8519MR + 27.4529 MR^2 \quad (4.4)$$

(4) การทดสอบทางสถิติ (Perform Statistical Testing)

การวิเคราะห์ความแปรปรวนของข้อมูล (Analysis of Variance; ANOVA) เพื่อที่จะทดสอบความมีนัยสำคัญและความสำคัญของผลกระทบของปัจจัยของการออกแบบการทดสอบสัดส่วนของความแปรปรวน (F-Distribution) จะนำมาใช้ในการตัดสินใจเกี่ยวกับความแปรปรวนของข้อมูล โดยผลเป็นดังตารางที่ 4.11

ตารางที่ 4.11 การวิเคราะห์ความแปรปรวนของผลกระทบที่มีผลต่อแบบจำลอง

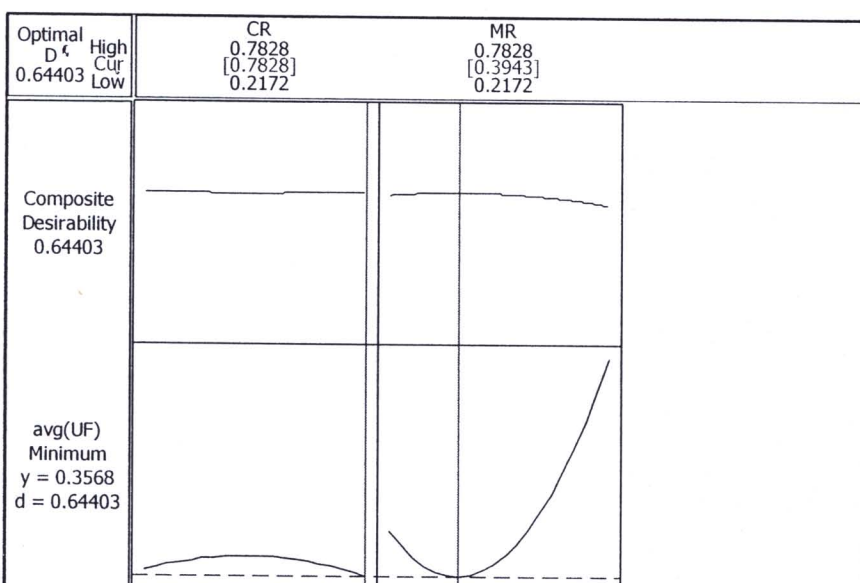
Source	DF	Seq SS	Adj SS	Adj MS	F	P
Regression	5	13.0139	13.0139	2.6028	5.67	0.007
Linear	2	1.4257	9.7637	4.8818	10.63	0.002
Square	2	11.4841	11.4841	5.7421	12.50	0.001
Interaction	1	0.1041	0.1041	0.1041	0.23	0.643
Residual Error	30	5.5108	5.5108	0.4592		
Lack-of-Fit	3	2.0504	2.0504	0.6835	1.78	0.221
Pure Error	27	3.4604	3.4604	0.3845		
Total	35	18.5247				

หมายเหตุ * ปัจจัยหลักและอันตราริยา_r'วมคับสองที่มีผลต่อข้อมูลผลตอบอย่างมีนัยสำคัญ ที่ระดับความเชื่อมั่น 95% (ค่า P น้อยกว่า 0.05)

จากการพิจารณาค่าผลรวมกำลังสองที่คำนวณได้ในตาราง 4.11 พบว่า ผลรวมกำลังสองของผลกระทบของอันตราริยา_r'วมมีค่าน้อยกว่า ผลกระทบอื่น จึงสามารถสรุปได้ว่าอันตราริยา_r'วมไม่ปรากฏอยู่ในแบบจำลอง โดยเมื่อพิจารณาจากค่า P-Value พบว่าเป็นไปในทำนองเดียวกัน คือ ปัจจัยของผลกระทบของอันตราริยา_r'วมมีค่า P-Value มากกว่า 0.05 แสดงว่าไม่มีผลต่อข้อมูลผลตอบอย่างมีนัยสำคัญ

(5) หาเงื่อนไขที่เหมาะสมที่สุดสำหรับแบบจำลองสุดท้าย (Find Optimum Condition for Final Model)

หลังจากที่ได้แบบจำลองที่เหมาะสมที่สุดแล้ว จึงทำการหาเงื่อนไขที่เหมาะสมที่สุดโดยกำหนดค่าเป้าหมายในการหาค่าที่เหมาะสมที่สุดเท่ากับ 0.3565 เมื่อทำการคำนวณโดยใช้ฟังก์ชัน Response Optimizer สำหรับการหาค่าที่เหมาะสมที่สุดของปัจจัยโดยรวมของผลตอบ (Composite Desirability; D) ในโปรแกรม MINITAB Release 15 จะได้ค่าความพึงพอใจโดยรวมของผลตอบ เป้าหมายเท่ากับ 0.3568 และมีค่า desirability เท่ากับ 0.6440 โดยค่าอัตราครอสโซเวอร์ (CR) และอัตรานิวทรัล (MR) ที่เหมาะสมที่สุดจะเท่ากับ 0.7828 และ 0.3943 ตามลำดับ ดังรูปที่ 4.13

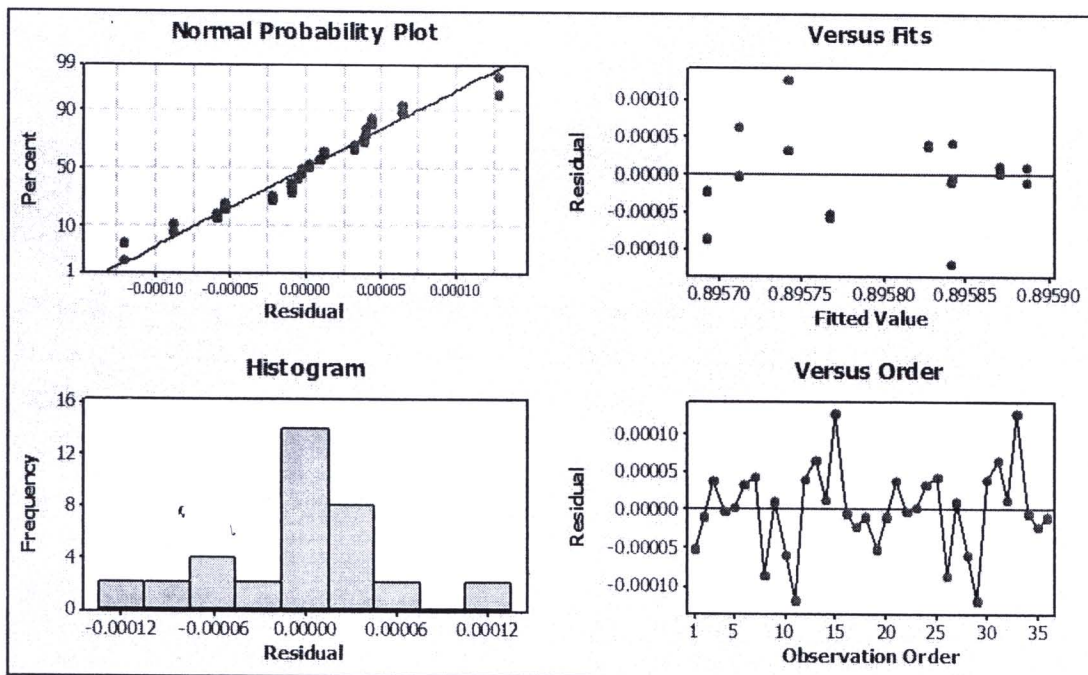


รูปที่ 4.13 ค่าที่เหมาะสมที่สุดของปัจจัยที่มีผลต่อค่าเฉลี่ยตัวประกอบการใช้ประโยชน์

4.7.3 การวิเคราะห์ข้อมูลผลตอบของสมการ (3.4)

(1) การวิเคราะห์ส่วนตกค้าง (Analyze Residuals)

ทำการวิเคราะห์ส่วนตกค้างเพื่อที่จะตรวจสอบความเพียงพอของแบบจำลองที่สร้างขึ้น และตรวจสอบความถูกต้องของสมมติฐานที่สร้างขึ้น นำข้อมูลมาทำการวิเคราะห์ส่วนตกค้างของแบบจำลอง ได้ผลเป็นดังรูปที่ 4.14



รูปที่ 4.14 กราฟแสดงการวิเคราะห์ส่วนตกล้างของข้อมูลผลตอบของสมการ (3.4)

จากรูปที่ 4.14 แสดงการวิเคราะห์ส่วนตกล้างของข้อมูลเพื่อที่จะตรวจสอบความเพียงพอของแบบจำลองจากการวิเคราะห์ส่วนตกล้างของข้อมูลผลตอบในส่วนของกราฟความน่าจะเป็นแบบปกติของส่วนตกล้าง พนว่ผลที่ได้จากการพล็อตกราฟเป็นแบบปกติส่วนตกล้างของข้อมูลมีแนวโน้มเป็นเส้นตรง และในส่วนของกราฟชิสโตร์แกรมของส่วนตกล้างพบว่ามีการกระจายตัวของส่วนตกล้างอยู่ในทุกช่วงของกราฟชิสโตร์แกรม จึงสรุปได้ว่าการกระจายตัวของส่วนตกล้างของข้อมูลมีแนวโน้มการกระจายตัวเป็นแบบปกติ

จากการวิเคราะห์ส่วนตกล้างของข้อมูลผลตอบในส่วนของกราฟระหว่างส่วนตกล้างกับค่าที่ถูกคำนวณของผลตอบพบว่าการกระจายตัวของส่วนตกล้างมีลักษณะกระจายไม่มีแนวโน้มเกิดขึ้น สามารถสรุปได้ว่าส่วนตกล้างมีการกระจายตัวแบบอิสระและในด้านการวิเคราะห์ส่วนตกล้างของข้อมูลผลตอบในส่วนของกราฟระหว่างส่วนตกล้างกับลำดับการทดลองของข้อมูลผลตอบพบว่าจุดที่พล็อตมีกระจายตัวแบบอิสระ กล่าวคือ จากผลการทดสอบสมมุติฐานของส่วนตกล้างของข้อมูลผลตอบสามารถตีความได้ว่าผลตอบมีส่วนตกล้างของข้อมูลมีการกระจายตัวแบบปกติและมีความแปรปรวนคงที่

(2) การประมาณผลกระทบจากการทดลอง (Estimate Factor Effects)

จากการวิเคราะห์ส่วนตกล้างของข้อมูลผลตอบพบว่ามีการกระจายตัวเป็นปกติ จึงทำการประมาณผลกระทบของเทอมต่าง ๆ ตรวจสอบเครื่องหมาย และขนาดของผลที่เกิดขึ้น ซึ่งทำให้

ทราบว่าปัจจัยและอันตรกิริยาใดมีความสำคัญ โดยมีผลตอบของการทดลองคือ ข้อมูลผลตอบของสมการ (3.4) แสดงดังตาราง 4.12

ตารางที่ 4.12 การประมาณผลกระบวนการและระดับความเชื่อมั่นของปัจจัยในการทดลองที่มีผลต่อผลตอบของสมการ (3.4)

Term	Coef	SE Coef	T	P
Constant	0.895033	0.000320	2795.237	0.000
อัตราครอส โอลิเวอร์	0.000927	0.000776	1.195	0.255
อัตรามิวเทชั่น	0.002628	0.000776	3.386	0.005
อัตราครอส โอลิเวอร์*อัตราครอส โอลิเวอร์	-0.000386	0.000709	-0.544	0.596
อัตรามิวเทชั่น*อัตรามิวเทชั่น	-0.002123	0.000709	-2.992	0.011
อัตราครอส โอลิเวอร์*อัตรามิวเทชั่น	-0.001185	0.000605	-1.959	0.074

หมายเหตุ * ปัจจัยหลักและอันตรกิริยาอันดับสองที่มีผลต่อข้อมูลผลตอบอย่างมีนัยสำคัญ ที่ระดับความเชื่อมั่น 95% (ค่า P น้อยกว่า 0.05)

$$S = 0.0000684432 R.Sq = 59.04\% R.Sq(adj) = 41.98\%$$

ค่า R.Sq และ R.Sq(adj) มีค่า 59.04% และ 41.98% ตามลำดับซึ่งสามารถอธิบายความหมายได้ดังนี้ R.Sq 59.04% แสดงว่าแบบจำลอง (Model) นี้สามารถอธิบายความผันแปรของข้อมูลผลตอบที่มีผลเกิดจากตัวแปรปัจจัย (X) อยู่ 59.04% สำหรับ R.Sq(adj) 41.98% เป็นค่าที่มีความหมายเหมือน R.Sq แต่คิดจำนวนพจน์ในส่วนที่พยากรณ์ท่านั้น

(3) การสร้างแบบจำลองเบื้องต้น (Form Initial Model)

แบบจำลองเริ่มต้นจะประกอบด้วยผลกระบวนการหลักและอันตรกิริยาร่วมของปัจจัยทั้งหมด จากค่าสัมประสิทธิ์ของการทดลองในตาราง 4.7 โดยสมการคือค่าพยากรณ์ผลตอบของสมการ (3.4) ในการกำหนดระดับของปัจจัยอัตราครอส โอลิเวอร์ (CR) และอัตรามิวเทชั่น (MR) ให้อยู่ภายใต้ตามขีดจำกัดสูงสุดและต่ำสุดที่ได้กำหนดไว้ ซึ่งสามารถเขียนได้ดังสมการ (4.5) ด้วยตัวอย่างด้านล่างนี้

$$\hat{y}_i = 0.895033 + 0.002628MR - 0.002123MR^2 \quad (4.5)$$

(4) การทดสอบทางสถิติ (Perform Statistical Testing)

การวิเคราะห์ความแปรปรวนของข้อมูล (Analysis of Variance; ANOVA) เพื่อที่จะทดสอบความมีนัยสำคัญและความสำคัญของผลกระบวนการปัจจัยของการออกแบบการทดลอง สัดส่วนของความแปรปรวน (F-Distribution) จะนำมาใช้ในการตัดสินใจเกี่ยวกับความแปรปรวนของข้อมูล โดยผลเป็นดังตารางที่ 4.13

ตารางที่ 4.13 การวิเคราะห์ความแปรปรวนของผลกระบวนการที่มีผลต่อแบบจำลอง

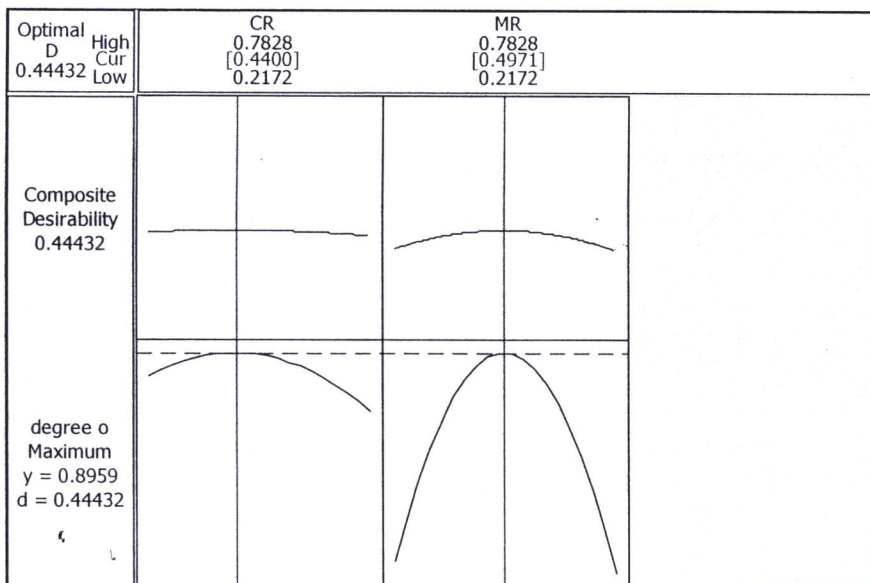
Source	DF	Seq SS	Adj SS	Adj MS	F	P
Regression	5	0.000000	0.000000	0.000000	3.46	0.036
Linear	2	0.000000	0.000000	0.000000	6.91	0.010
Square	2	0.000000	0.000000	0.000000	6.03	0.015
Interaction	1	0.000000	0.000000	0.000000	3.84	0.074
Residual Error	30	0.000000	0.000000	0.000000		
Lack-of-Fit	3	0.000000	0.000000	0.000000	7.15	0.009
Pure Error	27	0.000000	0.000000	0.000000		
Total	35	0.000000				

หมายเหตุ * ปัจจัยหลักและอันตรกิริยาอันดับสองที่มีผลต่อข้อมูลผลตอบอย่างมีนัยสำคัญ ที่ระดับความเชื่อมั่น 95% (ค่า P น้อยกว่า 0.05)

จากการพิจารณาค่าผลรวมกำลังสองที่คำนวณได้ในตาราง 4.13 พบว่า ผลรวมกำลังสองของผลกระบวนการอันตรกิริยาร่วมมีค่าน้อยกว่าผลกระบวนการอื่น จึงสามารถสรุปได้ว่าอันตรกิริยาจะไม่ปรากฏอยู่ในแบบจำลอง โดยเมื่อพิจารณาจากค่า P-Value พบว่าเป็นไปในทำนองเดียวกัน คือ ปัจจัยของผลกระบวนการของอันตรกิริยาร่วมมีค่า P-Value มากกว่า 0.05 แสดงว่าไม่มีผลต่อข้อมูลผลตอบอย่างมีนัยสำคัญ

(5) หาเงื่อนไขที่เหมาะสมที่สุดสำหรับแบบจำลองสุดท้าย (Find Optimum Condition for Final Model)

หลังจากที่ได้แบบจำลองที่เหมาะสมที่สุดแล้ว จึงทำการหาเงื่อนไขที่เหมาะสมที่สุด โดยกำหนดค่าเป้าหมายในการหาค่าที่เหมาะสมที่สุดด้วยฟังก์ชันความพึงพอใจแบบเป้าหมายเท่ากับ 0.897 เมื่อทำการคำนวณโดยใช้ฟังก์ชัน Response Optimizer ในโปรแกรม MINITAB Release 15 ในการหาค่าที่เหมาะสมที่สุดของปัจจัยโดยรวมของผลตอบ (Composite Desirability; D) เป็นดังรูปที่ 4.15 ค่าความพึงพอใจโดยรวมของผลตอบเป้าหมาย เท่ากับ 0.8959 และมีค่า desirability เท่ากับ 0.44432 โดยค่าอัตราครอสโอเวอร์ (CR) และ อัตรา มิวเทชั่น (MR) ที่เหมาะสมที่สุดจะเท่ากับ 0.4400 และ 0.4971 ตามลำดับ

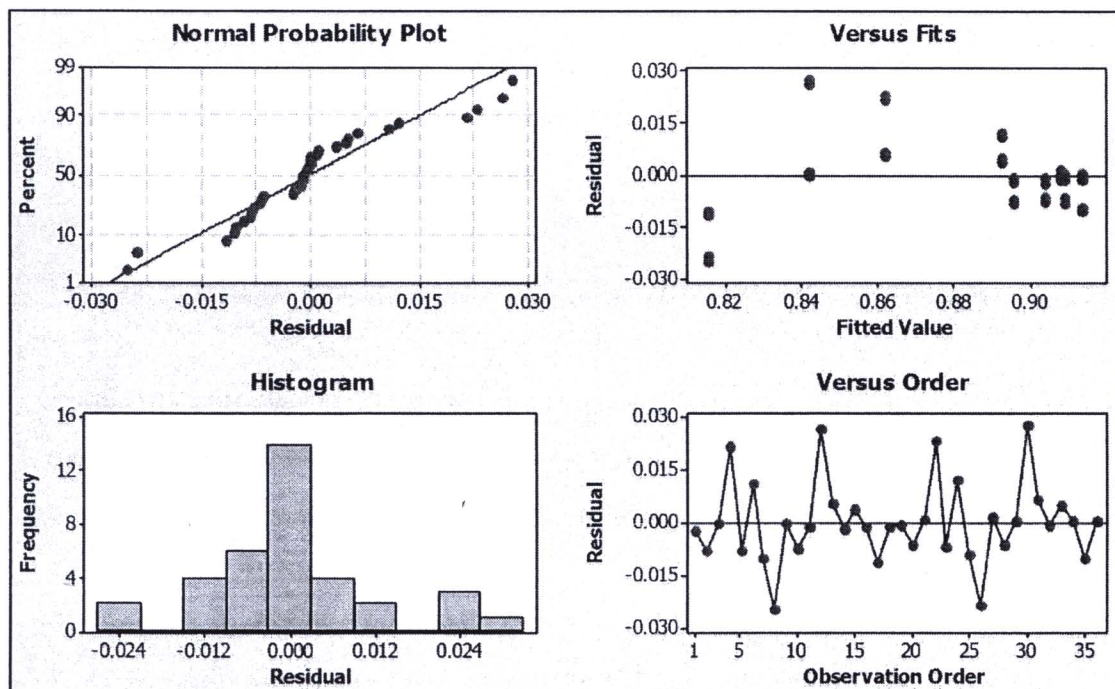


รูป 4.15 ค่าที่เหมาะสมที่สุดของปัจจัยที่มีผลต่อผลตอบของสมการ (3.4)

4.7.4 การวิเคราะห์ข้อมูลผลตอบของสมการ (3.5)

(1) การวิเคราะห์ส่วนตกค้าง (Analyze Residuals)

ทำการวิเคราะห์ส่วนตกค้างเพื่อที่จะตรวจสอบความเพียงพอของแบบจำลองที่สร้างขึ้น และตรวจสอบความถูกต้องของสมมติฐานที่สร้างขึ้น นำข้อมูลมาทำการวิเคราะห์ส่วนตกค้างของแบบจำลอง ได้ผลเป็นดังรูปที่ 4.16



รูป 4.16 กราฟแสดงการวิเคราะห์ส่วนตกค้างของข้อมูลผลตอบของสมการ (3.5)

จากรูปที่ 4.16 แสดงการวิเคราะห์ส่วนตกลักษณะของข้อมูลเพื่อที่จะตรวจสอบความเพียงพอของแบบจำลอง จากการวิเคราะห์ส่วนตกลักษณะของข้อมูลผลตอบในส่วนของกราฟความน่าจะเป็นแบบปกติของส่วนตกลักษณะของข้อมูลที่ได้จากการพล็อตกราฟเป็นแบบปกติส่วนตกลักษณะของข้อมูลมีแนวโน้มค่อนข้างเป็นเส้นตรง และในส่วนของกราฟชิสโตร์แกรมของส่วนตกลักษณะของข้อมูลมีกระจายตัวของส่วนตกลักษณะอยู่ในทุกช่วงของกราฟชิสโตร์แกรม จึงสรุปได้ว่าการกระจายตัวของส่วนตกลักษณะของข้อมูลมีแนวโน้มการกระจายตัวเป็นแบบปกติ จากการวิเคราะห์ส่วนตกลักษณะของข้อมูลผลตอบในส่วนของกราฟระหว่างส่วนตกลักษณะกับค่าที่ถูกทำนายของผลตอบพบว่าการกระจายตัวของส่วนตกลักษณะมีลักษณะกระจายไม่มีแนวโน้มเกิดขึ้น สามารถสรุปได้ว่าส่วนตกลักษณะมีการกระจายตัวแบบอิสระและในด้านการวิเคราะห์ส่วนตกลักษณะของข้อมูลผลตอบในส่วนของกราฟระหว่างส่วนตกลักษณะกับลำดับการทดลองของข้อมูลผลตอบพบว่าสูตรที่พล็อตมีกระจายตัวแบบอิสระ กล่าวคือ จากผลการทดสอบสมมุติฐานของส่วนตกลักษณะของข้อมูลผลตอบสามารถสรุปได้ว่าผลตอบมีส่วนตกลักษณะของข้อมูล (Residuals) มีการกระจายตัวแบบปกติและมีความแปรปรวนคงที่

(2) การประมาณผลกระบวนการทดลอง (Estimate Factor Effects)

จากการวิเคราะห์ส่วนตกลักษณะของข้อมูลผลตอบพบว่ามีการกระจายตัวเป็นปกติ จึงทำการประมาณผลกระบวนการทดลองของเทอมต่าง ๆ ตรวจสอบเครื่องหมาย และขนาดของผลที่เกิดขึ้น ซึ่งทำให้ทราบว่าปัจจัยและอันตรกิริยาใดมีความสำคัญ โดยข้อมูลผลตอบของสมการ (3.5) แสดงดังตาราง 4.14

ตารางที่ 4.14 การประมาณผลกระบวนการและระดับความเชื่อมั่นของปัจจัยในการทดลองที่มีผลต่อผลตอบของสมการ (3.5)

Term	Coef	SE Coef	T	P
Constant	0.80416	0.06633	12.124	0.000
อัตราครอสโซเวอร์	0.02562	0.16073	0.159	0.876
อัตราミニเวชั่น	0.49153	0.16073	3.058	0.010
อัตราครอสโซเวอร์*อัตราครอสโซเวอร์	-0.04143	0.14695	-0.282	0.783
อัตราミニเวชั่น*อัตราミニเวชั่น	-0.67463	0.14695	-4.591	0.001
อัตราครอสโซเวอร์*อัตราミニเวชั่น	0.09415	0.12532	0.751	0.467

หมายเหตุ * ปัจจัยหลักและอันตรกิริยาอันดับสองที่มีผลต่อข้อมูลผลตอบอย่างมีนัยสำคัญ ที่ระดับความเชื่อมั่น 95% (ค่า P น้อยกว่า 0.05)

$$S = 0.0141782 \quad R.Sq = 88.82\% \quad R.Sq(adj) = 84.17\%$$

ค่า R.Sq และ R.Sq(adj) มีค่า 88.82% และ 84.17% ตามลำดับซึ่งสามารถอธิบายความหมายได้ดังนี้ R.Sq 88.82% แสดงว่าแบบจำลอง (Model) นี้สามารถอธิบายความผันแปรของข้อมูลผลตอบ

ที่มีผลเกิดจากตัวแปรปัจจัย (X) อยู่ 88.82% และ R.Sq(adj) 84.17% เป็นค่าที่มีความหมายเหมือน R.Sq แต่คิดจำนวนพจน์ในส่วนที่พยากรณ์เท่านั้น

(3) การสร้างแบบจำลองเบื้องต้น (Form Initial Model)

แบบจำลองเริ่มต้นจะประกอบด้วยผลกระบวนการหลักและอันตรกิริยาร่วมของปัจจัยที่มีผลจากค่าสัมประสิทธิ์ของการทดลองในตาราง 4.14 โดยสมการคือผลตอบของสมการ (3.5) ในการกำหนดระดับของปัจจัย อัตราครอสโซเวอร์ (CR) และ อัตราโนว่าเท่านั้น (MR) ให้อยู่ภายใต้ตามปัจจัดสูงสุดและต่ำสุดที่ได้กำหนดไว้ซึ่งสามารถเขียนได้ดังสมการ (4.6) ด้านล่างนี้

$$\hat{y}_i = 0.80416 + 0.49153MR - 0.67463MR^2 \quad (4.6)$$

(4) การทดสอบทางสถิติ (Perform Statistical Testing)

การวิเคราะห์ความแปรปรวนของข้อมูล (Analysis of Variance; ANOVA) เพื่อที่จะทดสอบความมีนัยสำคัญและความสำคัญของผลกระบวนการของปัจจัยของการออกแบบการทดลอง สัดส่วนของความแปรปรวน (F-Distribution) จะนำมาใช้ในการตัดสินใจเกี่ยวกับความแปรปรวนของข้อมูล โดยผลเป็นดังตารางที่ 4.15

ตารางที่ 4.15 การวิเคราะห์ความแปรปรวนของผลกระบวนการที่มีผลต่อแบบจำลอง

Source	DF	Seq SS	Adj SS	Adj MS	F	P
Regression	5	0.019171	0.019171	0.003834	19.07	0.000
Linear	2	0.012467	0.003290	0.001645	8.18	0.006
Square	2	0.006590	0.006590	0.003295	16.39	0.000
Interaction	1	0.000113	0.000113	0.000113	0.56	0.467
Residual Error	30	0.002412	0.002412	0.000201		
Lack-of-Fit	3	0.001693	0.001693	0.000564	7.07	0.010
Pure Error	27	0.000719	0.000719	0.000080		
Total	35	0.02158				

หมายเหตุ * ปัจจัยหลักและอันตรกิริยาอันดับสองที่มีผลต่อข้อมูลผลตอบอย่างมีนัยสำคัญ ที่ระดับความเชื่อมั่น 95% (ค่า P น้อยกว่า 0.05)

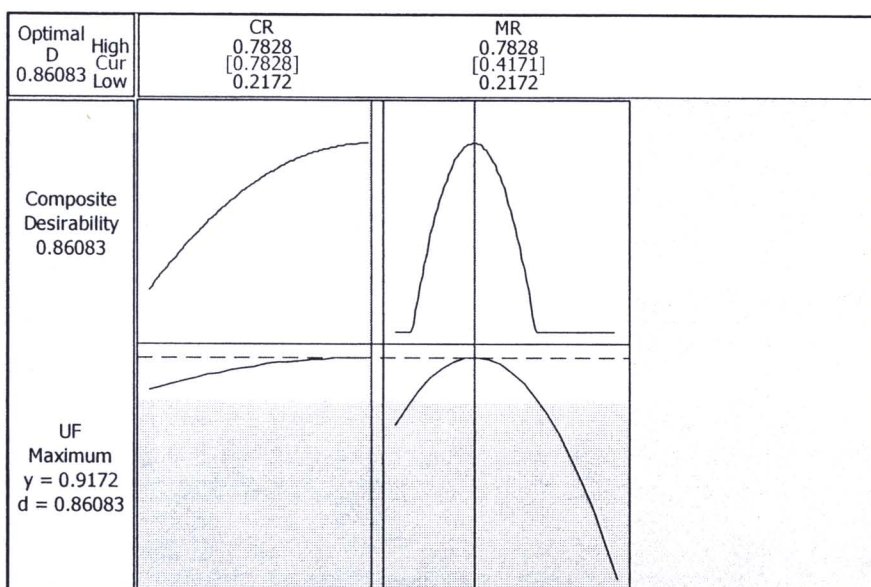
จากการพิจารณาค่าผลรวมกำลังสองที่คำนวณได้ในตาราง 4.15 พบว่า ผลรวมกำลังสองของผลกระบวนการของอันตรกิริยาร่วมมีค่าน้อยกว่า ผลกระบวนการอื่น จึงสามารถสรุปได้ว่าอันตรกิริยาจะไม่ปรากฏอยู่ในแบบจำลอง โดยเมื่อพิจารณาจากค่า P-Value พบว่าเป็นไปในทำนองเดียวกัน คือ

ปัจจัยของผลกระทบของอันตราริยาร่วมมีค่า P-Value มากกว่า 0.05 แสดงว่าไม่มีผลต่อข้อมูลผลตอบอุ่นน้อยสำคัญ

(5) หาเงื่อนไขที่เหมาะสมที่สุดสำหรับแบบจำลองสุดท้าย (Find Optimum Condition for Final Model)

หลังจากที่ได้แบบจำลองที่เหมาะสมที่สุดแล้ว จึงทำการหาเงื่อนไขที่เหมาะสมที่สุดโดยกำหนดค่าเป้าหมายในการหาค่าที่เหมาะสมที่สุดด้วยฟังก์ชันความพึงพอใจแบบเป้าหมายเท่ากับ 0.92 เมื่อทำการคำนวณโดยใช้ฟังก์ชัน Response Optimizer สำหรับการหาค่าที่เหมาะสมที่สุดของปัจจัยโดยรวมของผลตอบ (Composite Desirability; D) ในโปรแกรม MINITAB Release 15

ผลลัพธ์แสดงดังรูปที่ 4.17 ค่าความพึงพอใจโดยรวมของผลตอบเป้าหมายเท่ากับ 0.9172 และมีค่า desirability เท่ากับ 0.8608 โดยอัตราครอสโซเวอร์ (CR) และอัตราเมิร์เช่น (MR) ที่เหมาะสมที่สุดจะเท่ากับ 0.7828 และ 0.4171 ตามลำดับ



รูปที่ 4.17 ค่าที่เหมาะสมที่สุดของปัจจัยที่มีผลต่อผลตอบของสมการที่ 3.5

4.7.5 ค่าที่เหมาะสมที่สุดของแต่ละปัจจัย

ค่าที่เหมาะสมที่สุดของปัจจัยเมื่อนำผลการทดลองของทุกฟังก์ชันวัดถูประสงค์มาหาค่าที่เหมาะสมที่สุดโดยใช้เทคนิคการหาค่าที่เหมาะสมที่สุดของปัจจัยโดยรวมของผลตอบ แสดงดังตาราง 4.16

ตารางที่ 4.16 แสดงค่าที่เหมาะสมที่สุดของแต่ละปัจจัย

วัตถุประสงค์	ค่าเป้าหมาย	ค่าความพึงพอใจโดยรวมของผลตอบป้าหมาย	ค่า desirability	ค่าที่เหมาะสมที่สุด	
				อัตราครอสโซเวอร์	อัตรามิวเทชัน
สมการ (3.2)	9,815,000	9,809,000	1.0000	0.7147	0.3563
สมการ (3.3)	0.3565	0.3568	0.6440	0.7828	0.3943
สมการ (3.4)	0.8970	0.8959	0.4443	0.4400	0.4971
สมการ (3.5)	0.9200	0.9172	0.8608	0.7828	0.4171

4.2 การวิเคราะห์เพิ่มเติมสำหรับผลตอบด้านต้นทุนการสับเปลี่ยนหน้าแปลง

4.2.1 การวิเคราะห์ความสัมพันธ์ของขนาดประชากรและจำนวนรุ่นที่มีต่อค่าผลตอบ

ในการศึกษาถึงความสัมพันธ์ของขนาดประชากรและจำนวนรุ่นว่ามีผลต่อค่าผลตอบนั้น ผู้วิจัยได้ปรับตั้งอัตราครอสโซเวอร์และอัตรามิวเทชันไว้ที่ 0.7147 และ 0.3563 ซึ่งอยู่ช่วงที่จะสามารถให้ค่าผลตอบได้ตามคาดหวังตามผลลัพธ์ของการวิเคราะห์ในหัวข้อที่ 4.7.1 โดยผลการทดลองแสดงไว้ว่าภาคผนวก ง ซึ่งนำมาวิเคราะห์ผลได้ดังนี้

Item Analysis of Population Size, Generation, Value of Objective Function

Correlation Matrix

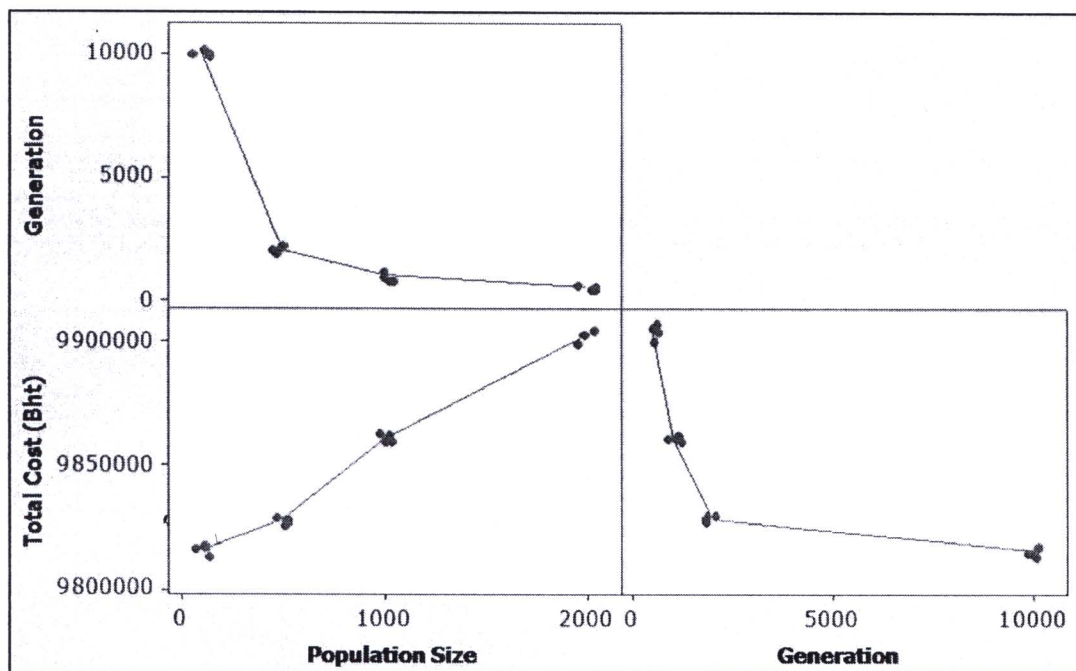
	Population Size	Generation
Generation	-0.742	
Value of Objective Function	0.994	-0.719

Cell Contents: Pearson correlation

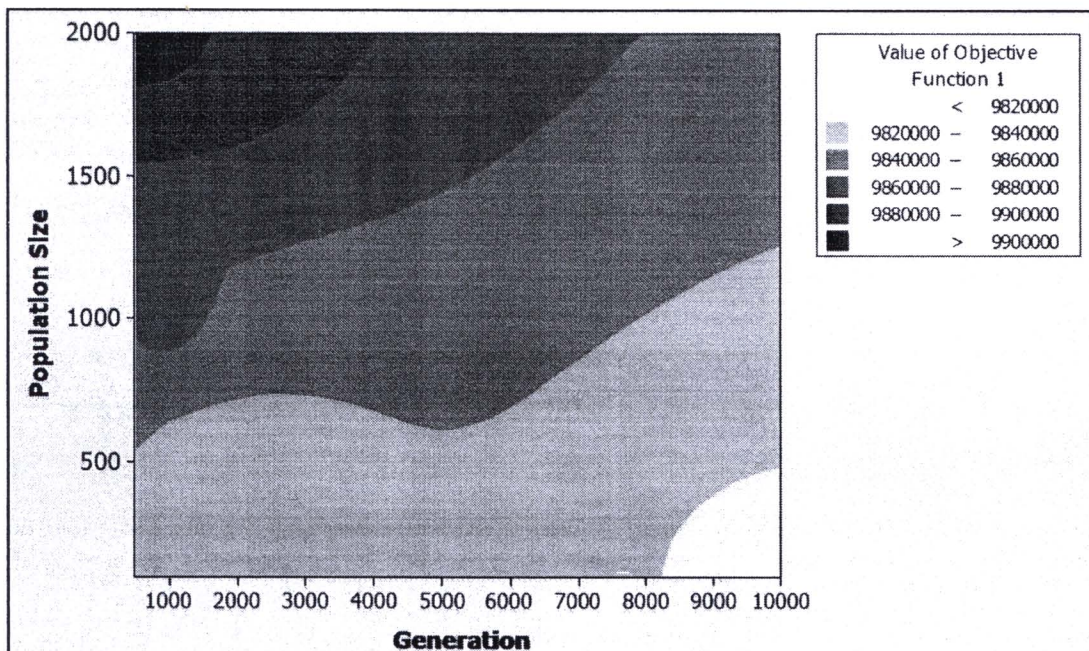
Item and Total Statistics

Variable	Count	Mean	StDev
Population Size	16	900	734
Generation	16	3375	3990
Value of Objective Function	16	9852291	35299
Total	16	9856566	33276

จากการวิเคราะห์ความสัมพันธ์พบว่าขนาดประชากรแปรผันตรงกับผลตอบ ในขณะที่ จำนวนรุ่นแปรผูกันกับค่าผลตอบ โดยมีค่าสหสัมพันธ์แบบเพียร์สัน (Pearson correlation) เท่ากับ 0.994 และ -0.719 ตามลำดับ ซึ่งสามารถแปลความอีกนัยได้ว่า ขนาดประชากรมีผลต่อผลตอบมากกว่าจำนวนรุ่นอย่างมีนัยสำคัญที่ช่วงความเชื่อมั่น 95% เนื่องจากมีค่าสัมบูรณ์ของค่าสหสัมพันธ์แบบเพียร์สันมากกว่า



รูป 4.18 กราฟเมตريคแสดงผลตอบที่เกิดจากความสัมพันธ์ของขนาดประชากรและจำนวนรุ่นของประชากร



รูป 4.19 กราฟ Contour Plot แสดงพื้นที่ผลตอบที่เกิดขึ้นจากความสัมพันธ์ของขนาดประชากรกับจำนวนรุ่นของประชากร

ในการศึกษาที่ผู้วิจัยต้องการหาค่าต่ำสุดของผลตอบนี้ ในเบื้องต้นจากการฟูปที่ 4.14 พบว่า ถ้าต้องการค่าผลตอบน้อยกว่า 9,820,000 ควรกำหนดขนาดของประชากรให้ต่ำกว่า 500 และ

จำนวนรุ่นของประชากรมากกว่า 8,000 ซึ่งสอดคล้องกับผลการวิเคราะห์เบื้องต้นจากการวิเคราะห์ความสหสัมพันธ์และการฟเมตริกูปที่ 4.18

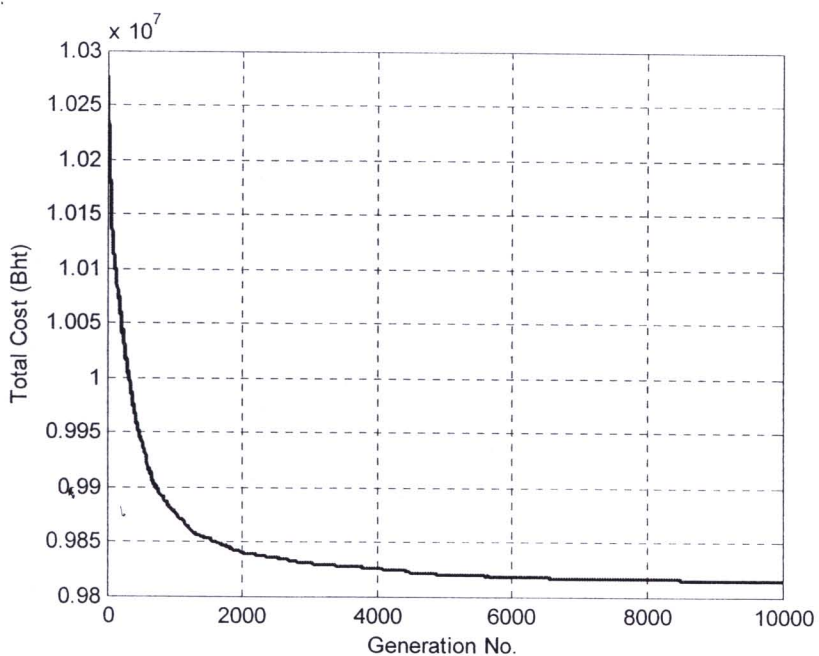
4.8.2 ผลลัพธ์ที่ดีที่สุดจากการทดสอบ

ผลลัพธ์ที่ดีที่สุดจากการทดสอบในหัวข้อที่ 4.8.1 ให้ผลของการสับเปลี่ยนหม้อแปลงจำหน่ายดังตารางที่ 4.17 และแสดงผลจากโปรแกรมไว้ที่ภาคผนวก จ

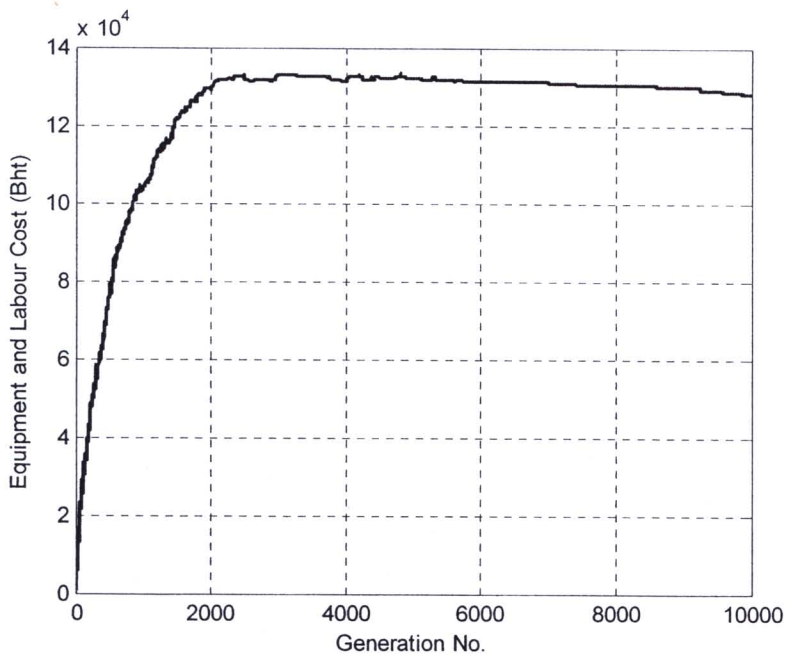
ตารางที่ 4.17 แสดงผลการเปรียบเทียบระหว่างก่อน-หลังการสับเปลี่ยนหม้อแปลงจำหน่าย

รายการ	กรณีไม่สับเปลี่ยน	กรณีสับเปลี่ยน	ผลต่าง
ต้นทุนค่าอุปกรณ์-ค่าแรง (บาท)	-	128,232.00	128,232.00
ต้นทุนค่าขนส่ง (บาท)	-	10,537.62	10,537.62
ต้นทุนกำลังไฟฟ้าสูญเสียในชุดลวด (บาท)	3,026,655.99	2,422,905.25	-603,750.74
ต้นทุนรวม (บาท)	10,279,336.13	9,814,355.22	-464,980.91
จำนวนหม้อแปลงที่สับเปลี่ยน (เครื่อง)	-	289	289
ค่าตัวประกอบการใช้ประโยชน์เฉลี่ย	0.4068	0.3610	-0.0458
ค่าตัวประกอบการใช้ประโยชน์เฉลี่ย (ชนบท)	0.3806	0.3576	-0.0230
ค่าตัวประกอบการใช้ประโยชน์เฉลี่ย (เมือง)	0.3841	0.3333	-0.0508
ค่าตัวประกอบการใช้ประโยชน์เฉลี่ย (ธุรกิจ)	0.5418	0.4219	-0.1199
ค่าตัวประกอบการใช้ประโยชน์สูงสุด	1.4061	0.9430	-0.4631

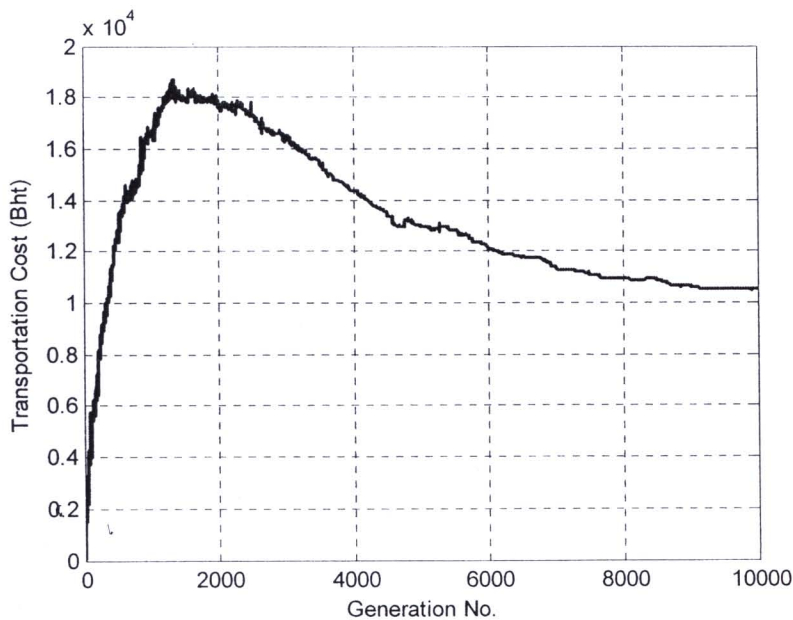
จากตารางที่ 4.17 เมื่อพิจารณาเปรียบเทียบระหว่างก่อน-หลังการสับเปลี่ยนหม้อแปลงจำหน่าย พนว่าจะสามารถลดค่าใช้จ่ายได้ในปีแรกที่ทำการสับเปลี่ยนเป็นเงินทั้งสิ้น 464,980.91 บาท โดยทำการสับเปลี่ยนหม้อแปลงจำหน่ายจำนวนทั้งสิ้น 289 เครื่อง และเมื่อพิจารณาค่าตัวประกอบการใช้ประโยชน์เฉลี่ยของหม้อแปลงจำหน่ายจะลดลงได้เท่ากับ 4.58 เปอร์เซ็นต์



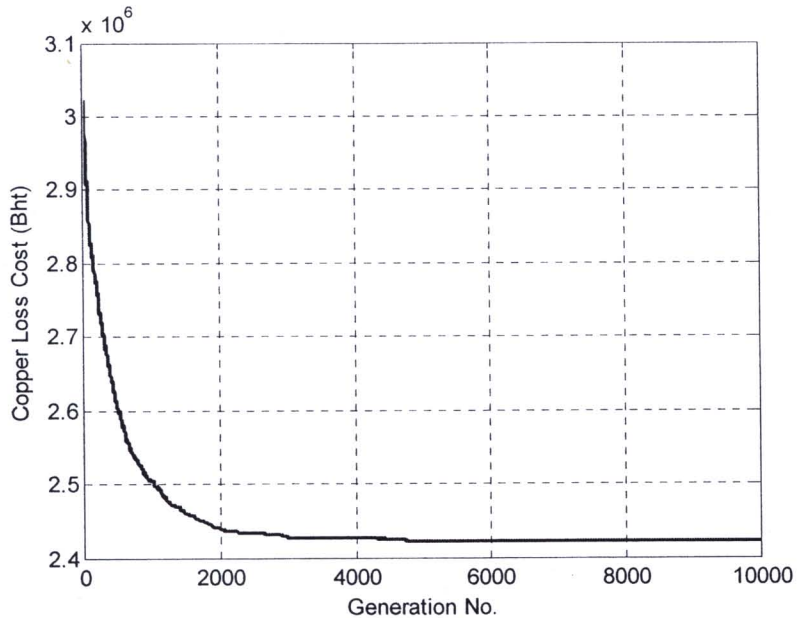
รูปที่ 4.20 กราฟผลการทดสอบของต้นทุนรวมของการสับเปลี่ยนหม้อแปลงจำนวนน้ำยา



รูปที่ 4.21 กราฟผลการทดสอบของต้นทุนค่าอุปกรณ์-ค่าแรง



รูปที่ 4.22 กราฟผลการทดสอบของต้นทุนค่าขนส่ง



รูปที่ 4.23 กราฟผลการทดสอบของต้นทุนพลังงานไฟฟ้าสูญเสียในขดลวด

จากรูปที่ 4.21, 4.22 และ 4.23 แสดงให้เห็นว่าในรุ่นประชากรช่วงต้นของการทดสอบ ต้นทุนค่าอุปกรณ์-ค่าแรงและต้นทุนค่าขนส่งมีแนวโน้มเพิ่มสูงขึ้นอย่างรวดเร็ว สำหรับต้นทุน พลังงานไฟฟ้าสูญเสียจะมีแนวโน้มลดต่ำลง ซึ่งเป็นผลมาจากการทดสอบที่เกิดการ สับเปลี่ยนตำแหน่งระหว่างจุดติดตั้งของหม้อแปลงเพื่อลดต้นทุนพลังงานไฟฟ้าสูญเสีย และ เนื่องจากวิวัฒนาการของอัลกอริทึมเชิงพันธุกรรมจะก้นหาระยะทางในการสับเปลี่ยนที่สั้นลงและ

ลดจำนวนการสันเปลี่ยนหม้อแปลงในบางตำแหน่งที่ไม่ทำให้ต้นทุนรวมดีขึ้นจึงทำให้ในรุ่นประชากรในช่วงท้ายของการทดสอบ ต้นทุนค่าอุปกรณ์-ค่าแรงและต้นทุนค่าขนส่งมีแนวโน้มลดลง

ตารางที่ 4.18 แสดงค่าตัวประกอบการใช้ประโยชน์ของหม้อแปลงจำหน่ายแยกตามพื้นที่

ระดับ ตัวประกอบ การใช้ประโยชน์	จำนวนหม้อแปลงแยกตามพื้นที่ติดตั้ง (เครื่อง)								
	ชนบท			เมือง			ธุรกิจ		
	ก่อน	หลัง	ผลต่าง	ก่อน	หลัง	ผลต่าง	ก่อน	หลัง	ผลต่าง
UF<=20	86	57	-29	47	35	-12	5	3	-2
20<UF<=40	130	191	61	58	98	40	27	49	22
40<UF<=60	128	139	11	57	56	-1	40	45	5
60<UF<=80	46	15	-31	26	5	-21	27	14	-13
80<UF<=100	11	2	-9	4		-4	5		-5
UF>100	3		-3	2		-2	7		-7
รวม	404	404	0	194	194	0	111	111	0

ตารางที่ 4.19 แสดงพิกัดของหม้อแปลงจำหน่ายแยกตามพื้นที่

พิกัด ขนาด	จำนวนหม้อแปลงแยกตามพื้นที่ (เครื่อง)								
	ชนบท			เมือง			ธุรกิจ		
	ก่อน	หลัง	ผลต่าง	ก่อน	หลัง	ผลต่าง	ก่อน	หลัง	ผลต่าง
50n	15	20	5	13	12	-1	4		-4
50o	59	63	4	19	18	-1	3		-3
100n	23	24	1	6	6	0	6	5	-1
100o	103	116	13	40	33	-7	9	3	-6
160n	43	41	-2	19	22	3	11	10	-1
160o	81	90	9	51	50	-1	19	11	-8
250n	31	12	-19	9	12	3	11	27	16
250o	45	38	-7	33	39	6	37	38	1
315n			0			0	1	1	0
315o	4		-4	3	1	-2	3	9	6
400n			0			0	1	1	0
400o			0	1	1	0	6	6	0
รวม	404	404	0	194	194	0	111	111	0

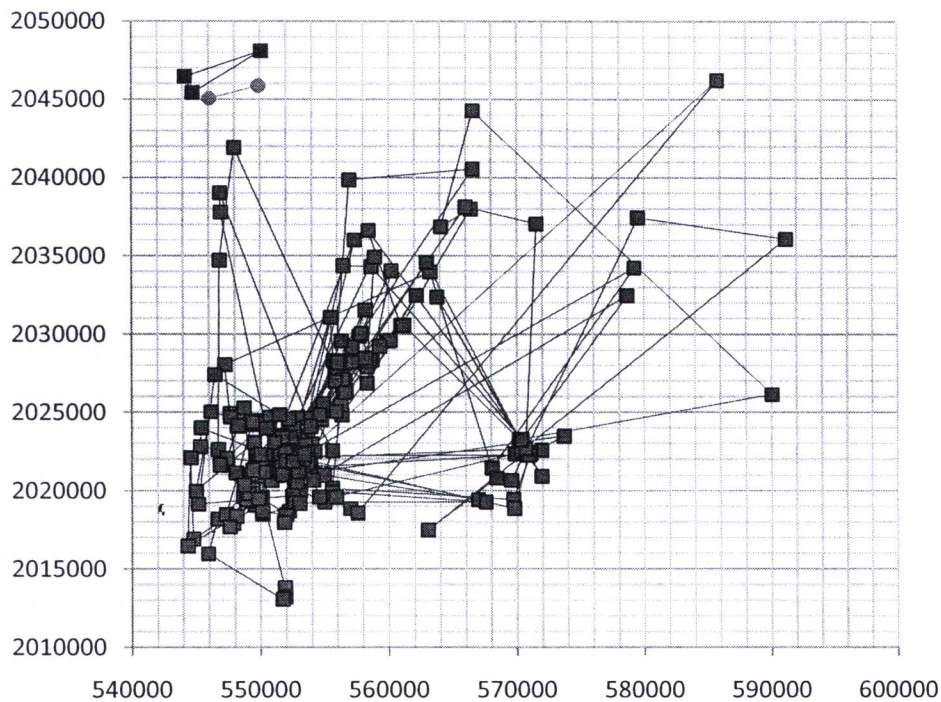
จากตารางที่ 4.18 และตารางที่ 4.19 เมื่อพิจารณาค่าตัวประกอบการใช้ประโยชน์และขนาดพิกัดหม้อแปลงแยกตามพื้นที่จะเห็นได้ว่า หม้อแปลงจำนวนที่มีค่าตัวประกอบการใช้ประโยชน์อยู่ระหว่าง 20-60% มีจำนวนเพิ่มมากขึ้นภายหลังจากการสับเปลี่ยนทุกพื้นที่ติดตั้ง (ชนบท, เมืองและธุรกิจ) ซึ่งเป็นผลมาจากการลดปริมาณหม้อแปลงที่มีค่าตัวประกอบการใช้ประโยชน์ต่ำกว่า 20% ตามและมากกว่า 60% ซึ่งในที่นี้เป็นการลดปริมาณหม้อแปลงที่รับโหลดสูงสุดเกินค่ามาตรฐานของ กฟภ. จากเดิม 32 เครื่องเหลือเพียง 2 เครื่อง ซึ่งหม้อแปลงจำนวนที่มีขนาดใหญ่ (ขนาดตั้งแต่ 250 kVA ขึ้นไป) ที่ไม่เหมาะสมกับโหลดที่ติดตั้งในพื้นที่ชนบทจำนวน 30 เครื่อง จะถูกย้ายไปติดตั้งในพื้นที่ที่โหลดสูงสุดมีความเหมาะสมมากกว่า สอดคล้องกับจำนวนหม้อแปลงจำนวนที่มีขนาดเล็ก (ขนาดต่ำกว่า 250 kVA) ในพื้นที่ชนบทมีเพิ่มขึ้นเป็นจำนวน 30 เครื่อง ในขณะที่พื้นที่เมืองและพื้นที่ธุรกิจมีปริมาณลดลง 7 และ 23 เครื่อง ตามลำดับ

ตารางที่ 4.20 แสดงระยะทางของเส้นทางการสับเปลี่ยนหม้อแปลงจำนวนที่มีค่าตัวประกอบการใช้ประโยชน์ต่ำกว่า 20%

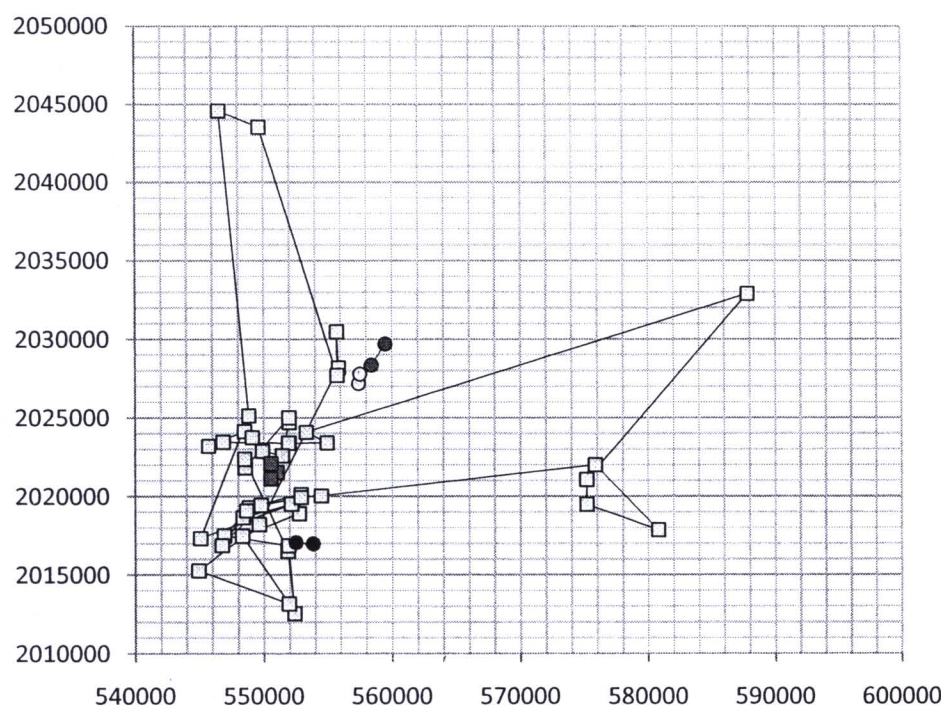
เส้นทาง	ระยะทาง (กม.)	จำนวนจุดติดตั้งที่สับเปลี่ยน	ระยะทางเฉลี่ย (กม.)
R1	1,337.16	231	5.79
R2	253.19	44	5.75
R3	2.34	3	0.78
R4	13.31	3	4.44
R5	3.44	2	1.72
R6	1.17	2	0.58
R7	7.82	2	3.91
R8	2.74	2	1.37
รวม	1,621.18	289	5.61

รูปที่ 4.24 แสดงเส้นทางการสับเปลี่ยนหม้อแปลงจำนวนที่มีค่าตัวประกอบการใช้ประโยชน์ต่ำกว่า 20% โดยใช้ระยะทางในการสับเปลี่ยนหม้อแปลงจำนวนทั้งสิ้น 1,621.18 กม. ระยะทางเฉลี่ยระหว่างจุดติดตั้งเท่ากับ 5.61 กม. สำหรับระยะทางของเส้นทางการสับเปลี่ยนหม้อแปลงจำนวนที่มีค่าตัวประกอบการใช้ประโยชน์ต่ำกว่า 20% แสดงดังตารางที่ 4.20 และรายละเอียดแสดงไว้ที่ภาคผนวก ฉ





รูปที่ 4.24 (ก)



รูปที่ 4.24 (ก)

รูปที่ 4.24 แสดงเส้นทางการสับเปลี่ยนหม้อแปลงจำนวน

(ก) เส้นทางที่ 1, 4 และ 7 (ก) เส้นทางที่ 2, 3, 5, 6 และ 8